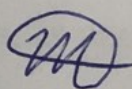


Київський національний університет імені Тараса Шевченка
Факультет комп'ютерних наук та кібернетики
Кафедра моделювання складних систем

ВИПУСКНА КВАЛІФІКАЦІЙНА РОБОТА
на здобуття ступеня бакалавра
за спеціальністю 113 «Прикладна математика»

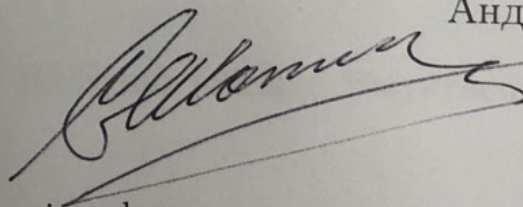
на тему:

Цифрова обробка сигналів: методи і їх порівняння



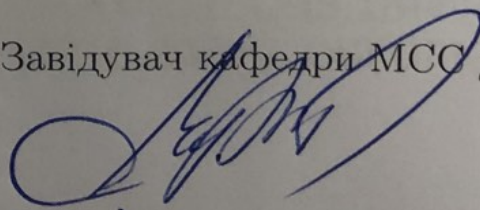
студента 4 курсу
Владислава ЖИТНИКА

Науковий керівник:
доцент, доктор фізико-математичних наук
Андрій ШАТИРКО



Робота заслухана на засіданні кафедри моделювання складних систем
та рекомендована до захисту в ЕК, протокол № ..10... від ..05.06.23
2023 р.

Завідувач кафедри МСС доктор. техн. наук, доц.
Дмитро ЧЕРНІЙ



Київ – 2023

Анотація

Випускна кваліфікаційна бакалаврська робота: 43 сторінки, 29 рисунків, 1 таблиця, 3 додатки, 12 інформаційних джерел.

Тема: Цифрова обробка сигналів: методи і їх порівняння.

Об'єкт дослідження: набір цифрових сигналів взятих з відкритих джерел і способів їх обробки.

Мета роботи: дослідження цифрових способів і методів обробки сигналів.

Предмет дослідження: реалізація програмного забезпечення для аналізу FM-сигналу і перетворення його на звук.

Результати дослідження:

- проведено дослідження в галузі цифрової обробки сигналів.
- розглянуто види сигналів, їх застосування.
- описано повний ланцюжок генерації сигналу — > модуляції — > передачі — > прийому — > демодуляції — > декодування.
- реалізовано програму для цифрової обробки аналогових і цифрових сигналів.
- розглянуто протокол RDS що використовується для кодування FM-радіо.

ЦИФРОВА ОБРОБКА СИГНАЛІВ, ЦИФРОВІ ФІЛЬТРИ, МОДУЛЯЦІЯ, ПЕРЕТВОРЕННЯ ФУР'Є, ОБРОБКА РАДІО СИГНАЛІВ.

Abstract

Graduation qualifying master's thesis: 43 pages, 29 images, 1 table, 3 applications, 12 sources.

Topic: Digital signal processing: methods and their comparison.

Object of study: a set of digital signals and methods of their processing.

The goal of the work: conduct research of digital methods and methods of signal processing.

Subject of study: implementation of software for analyzing the FM signal and converting it to sound.

Results of the research:

- conducted research in the field of digital signal processing.
- types of signals and their application are considered.
- the complete chain of signal generation – > modulation – > transmission – > reception – > demodulation – > decoding is described.
- a program for digital processing of analog and digital signals has been implemented.
- the RDS protocol used for FM radio encoding is described.

DIGITAL SIGNALS PROCESSING, DIGITAL FILTERS, MODULATION, FOURIER TRANSFORM, RADIO SIGNALS PROCESSING.

Зміст

| | | |
|----------|--|-----------|
| 1 | Загальні питання цифрової обробки сигналів | 3 |
| 1.1 | Сигнали | 3 |
| 1.2 | Дискретизація та квантування | 6 |
| 1.3 | Попередня підготовка сигналу | 9 |
| 1.4 | Модуляція і демодуляція сигналу | 11 |
| 1.5 | Перетворення Фур'є | 12 |
| 1.6 | Швидке перетворення Фур'є | 17 |
| 1.7 | Z-перетворення | 17 |
| 2 | Фільтри | 22 |
| 2.1 | Теорія цифрових фільтрів | 22 |
| 2.1.1 | Використання різницевих рівнянь у цифрових фільтрах | 22 |
| 2.1.2 | Різновиди цифрових фільтрів | 26 |
| 2.2 | Покращення характеристик сигналу | 27 |
| 2.3 | Різновиди цифрових фільтрів та їх застосування | 28 |
| 2.3.1 | Фільтр рухомого середнього | 28 |
| 2.3.2 | Фільтр Баттерворта | 30 |
| 3 | Практична частина | 32 |
| 3.1 | Інструменти | 32 |
| 3.2 | Обробка сигналу | 33 |
| 3.2.1 | RDS протокол | 34 |
| 3.2.2 | Принцип роботи | 35 |
| 4 | Висновок | 41 |
| A | Вихідний код програми, що використовувалась при написанні теоретичної частини | 44 |

Б Вихідний код програми, що використовувалась при написанні практичної частини частини

50

Розділ 1

Загальні питання цифрової обробки сигналів

1.1 Сигнали

На відміну від прийнятого уявлення сигнал - це залежність якоїсь величини від іншої. Наприклад, залежність напруги змінного струму від часу, або ж залежність густини гірської породи відносно відстані до поверхні Землі. Найчастіше в якості незалежності змінної береться час і ця змінна позначається латинською літерою t . Якщо не вказано інакше, залежна змінна називається амплітудою і позначається латинською літерою x .

Існує два типи сигналів: Аналоговий і Цифровий. Аналоговий сигнал неперервно змінюється відносно своєї незалежної змінної, а цифровий - дискретно. Аналогові сигнали зазвичай трапляються у природі і фізичних явищах, а цифрові - в кібернетиці.

Цифрова обробка сигналів (Digital Signal Processing, DSP *англ.*) - це метод обробки сигналів, який використовує математичні та логічні операції для отримання корисного навантаження з отриманого сигналу.

Ключовим розділом DSP є цифрова фільтрація сигналів, тобто покращення амплітудно-фазових характеристик бажаного сигналу або придушення небажаних.

Сигнали в побутових пристроях

Електромагнітні сигнали буквально оточують людей в повсякденному житті, проте залишаються невидимими. Стільниковий зв'язок в мобільних телефонах, Wi-fi, та навіть мікрохвильова піч генерують різкі коливання електричної напруги і за допомогою антени випромінюють ці коливання в навколишній світ. В багатьох людей народжених після 2000 року в дитинстві була радіокерована машина. Низькі затрати на виробництво, і відповідно низька ціна, в поєднанні з високою інтерактивністю зробили цю іграшку доволі популярною в свій час. Отже, маємо стандартну схему двох керованих елементів, один з яких може лише передавати сигнал, а інший, відповідно, його приймає. Почнемо з пульта управління.

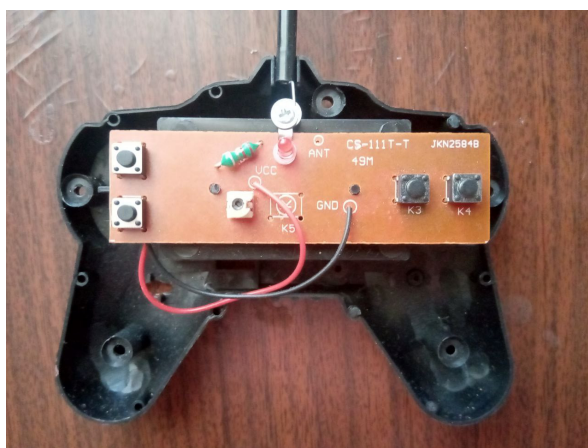


Рис. 1.1: Фото плати пульта управління

На фото можна помітити необхідний мінімум радіодеталей. Чотири кнопки для отримання вхідних даних від користувача, котушка індуктивності, резистор, для генерації несучого сигналу з заданою частотою, LED-індикатор передачі сигналу і антена. З іншої сторони друкованої плати присутня мікросхема з позначенням TX-2. Конкретно для даної моделі я не зміг знайти публічно-доступний даташит з описом функціоналу, проте враховуючи маркування можу припустити що функціонал даної інтегральної мікросхеми нічим не відрізняється від передавачів що використовують протокол TX-2/RX-2 для кодування сигналу. [5][6]

Схема приймача виглядає більш складно, оскільки процес де-модуляції є складнішим. Проте, якщо прибрати функціонал відділення несучого сигналу від модулюючого, отримаємо просту схему, в якій на вхід мікросхеми подається інформаційний сигнал, де за допомогою тригерів

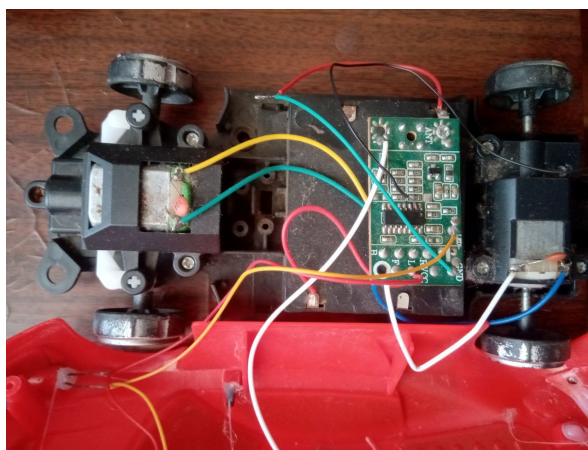


Рис. 1.2: Фото плати керованої машини

і програмованих логічних послідовностей визначається одна із чотирьох команд: рух вперед, рух назад, поворот вправо, поворот вліво. Варто зазначити, що у приймачі, як і передавачі, частота несучої хвилі контролюється за допомогою резистору під'єднаного до вбудованого осцилятора.

Окрему увагу заслуговує протокол передачі даних Tx2-Rx2. Хоча якогось офіційно затвердженого стандарту не існує, проте всі мікросхеми, в документації яких зазначено такий протокол керуються схожими принципами і можуть мати схожу будову друкованої плати. Наприклад, для передачі інформації використовуються дві функції сигналів: W1 і W2. W2 є дискретним сигналом з частотою в 500Hz і 75% робочого циклу при широтно-імпульсній модуляції і серія із чотирьох послідовних таких сигналів використовується для інформування процесора про зміну команди виконання. Далі йде сигнал W1 з частотою 1kHz і 50% робочого циклу, і їх кількість позначає наступний режим роботи. Наприклад, якщо мікропроцесор отримав 10 сигналів W1 після чотирьох W2, то керуючий пристрій повинен їхати вперед. Якщо ж сигналів W1 було 58 - повернули на ліво.

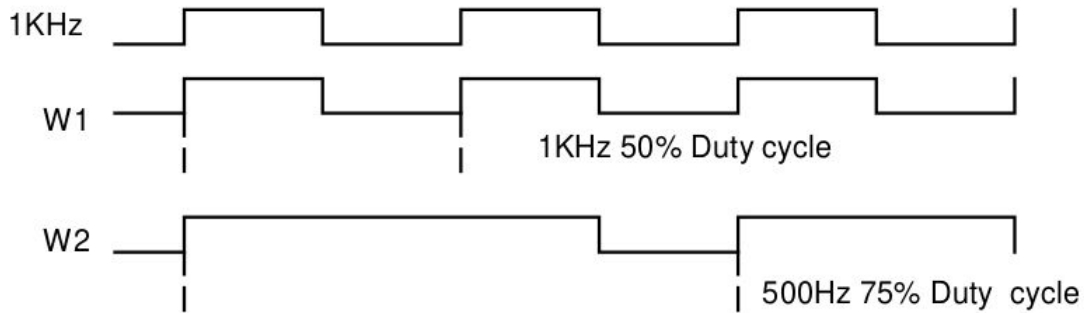


Рис. 1.3: Схема кодування сигналу у протоколі Tx2-Rx2

1.2 Дискретизація та квантування

Загальні відомості

Розглянемо загальний вигляд циклу роботи системи цифрової обробки сигналів

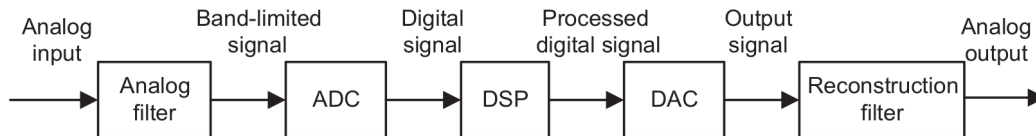


Рис. 1.4: Схема систем для цифрової обробки

Як бачимо, аналоговий сигнал подається на вхід до аналогового фільтру, звідки отримуємо сигнал з бажаними амплітудно-частотними характеристиками. Далі, сигнал направляєється в аналогово-цифровий перетворювач (АЦП). Далі, АЦП розбиває сигнал на проміжки, для кожного проміжку проводить квантизацію і перетворює квантовий рівень в цифровий.

Як було сказано раніше, дані, що передаються за допомогою аналогового сигналу - неперервні. Отже, мають нескінченну кількість точок. Для їх обробки потрібно була б нескінченна пам'ять та нескінченний час, що в реальному світі неможливо зробити. Проте, можна використати неперервність і обчислити параметри сигналу з мінімальною похибкою. Нехай існує неперервний сигнал $x(t)$ і квантовий сигнал $y(t)$, що має вигляд:

$$y(t) = x(t - (t \bmod T))$$

де T - період квантування.

Для спрощеного представлення, $y(n)$ можна переписати наступним чином:

$$y(t) = x(nT), \quad t \in [nT, (n+1)T)$$

При всіх $n \in (0, 1, \dots)$. Графічно зображується:

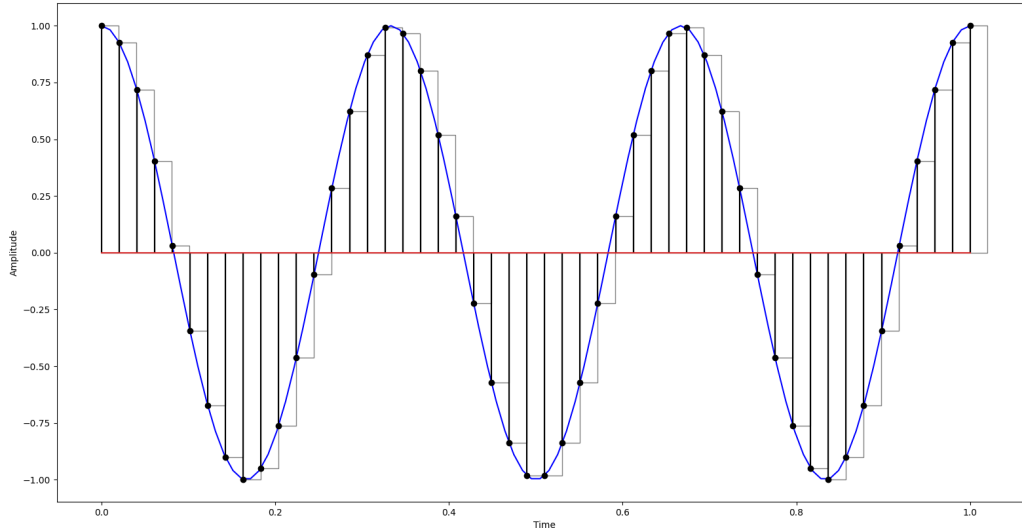


Рис. 1.5: Аналоговий сигнал $x(t)$ і квантований $y(t)$

Тоді, виконується наступна рівність:

$$\lim_{T \rightarrow 0} y(t) = x(t)$$

Іншими словами, при достатньо малих проміжках періодах квантування функція $y(t)$ наближає $x(t)$. Проте, в багатьох випадках надмірна точність є надлишковою і частоту розбиття на проміжки можна зменшити без втрати інформації, якщо наперед знати деякі характеристики цільового сигналу. В наступних розділах буде розглянуто як знайти мінімально-допустиму швидкість розбиття для нормальної роботи АПЦ.

Квадратурна квантизація

Термін “квадратура” має багато значень в різних контекстних областях, проте у випадку DSP і особливо роботи з SRD це означає дві синусоїдні хвилі відхилені одна від одної на 90 градусів. В загальному випадку цей кут називається фазою. Чому саме 90 градусів? В такому випадку дві синусоїдні функції будуть формувати пару ортогональних функцій, що в свою чергу приносить багато можливостей, наприклад

бути базисом над полем функцій. Для простоти написання і подальшого розуміння, зазвичай одну з функцій записують як синус, а іншу - косинус. Як і для звичайних гармонічних сигналів, амплітуда коливань є одним з найбільш важливих параметрів. Історично, параметр при косинусі позначають літерою I (оскільки в англійських джерелах дана компонента називається "in-phase", тобто є свого роду відліком фази), тоді як при синусі - Q (оскільки називається "quadrature"). Тобто пара буде виглядати як:

$$I \cos(2\pi ft)$$

$$Q \sin(2\pi ft)$$

IQ квантування набагато більш зрозуміле якщо його сприймати з погляду передавача сигналу. Перед нами постає завдання: найбільш ефективний, з погляду затрачених ресурсів, часу, обладнання способом передати сигнал через повітря до цілі. Для цього необхідно не лише змінювати амплітуду, а з цим у сучасних системах проблем нема, оскільки рівень амплітуду це те ж саме що й рівень електричної напруги, під'єднаної до даної ділянки кола, а також і фазу, що вже не є примітивною задачею. Проте, для виконання поставленої задачі, достатньо знати шкільний курс математики, а саме одну з так званих тригонометричних тотожностей:

$$a \cos(x) + b \sin(x) = A \sin(x + \varphi)$$

де, параметри A і φ можна отримати з наступних рівностей:

$$A^2 = a^2 + b^2$$

$$\sin(\varphi) = b/A$$

$$\operatorname{tg}(\varphi) = b/a$$

В результаті маємо: використовуючи лише два вхідних сигнали зі сталою фазою на виході можливо отримати сигнал зі змінною фазою і амплітудою, що можна використати для одного чи іншого методу модуляції. Для цього необхідно згенерувати два синусоїдальних сигнали з різницею фаз у 90 градусів, збільшити або ж зменшити амплітуду кожного з них до відповідного значення і додати два сигнали. Дані операції легко реалізуються на електричних схемах, використовуючи лише базові елементи такі як резистори, транзистори та конденсатори

Квадратури і комплексні числа

За допомогою IQ позначень можна задавати магнітуду і фазу, що логічно наштовхує на думку про комплексні числа. Комплексне число зазвичай відображається як одинична точка на декартовому графіку, де ціла частина відповідає відстані від початку координат до проекції на вісь абсцис, а уявна - від початку координат до проекції на вісь ординат. Проте в цьому випадку зручніше уявляти комплексне число як вектор від початку координат до даної точки. Нехай цей вектор має довжину l , відхиляється від додатнього напрямку осі абсцис на кут φ і позначає комплексне число $a + bj$. Тоді справедливі наступні рівності:

$$l = \text{sqr}(a^2 + b^2)$$

$$\varphi = \text{atrctan}(b/a)$$

Як бачимо, ці рівності доволі схожі на ті, що задані в попередньому пункті. З цього можна провести паралелі між IQ позначенням і параметрами комплексного числа: I відповідає дійсній частині комплексного числа, а Q - уявній. Оскільки електромагнітний сигнал передається і приймається як раціональне число, то важливо розуміти, що використання комплексних чисел зводиться до відображення отриманих даних і, відповідно, подальшої обробки.

1.3 Попередня підготовка сигналу

Перед тим як користувач (у вигляді ядра операційної системи або ж звичайної десктопної програми) отримає масив з дискретизованими значеннями сигналів, над цим же сигналом відбувається багато дій зі сторони приймаючої мікросхеми. Якщо ж подавати на вхід сигнал без обробки то одразу виникнуть декілька труднощів. По-перше, потрібен дуже дорогий набір апаратного забезпечення: аналогово-цифровий перетворювач, який зможе проводити операцію квантування і дискретизації з вдвічі вищою частотою ніж частота цільового сигналу, процесор який здатен передавати сигнали між пристроями в рази більшою частотою. До слова, максимальна частота сучасних процесорів нового покоління - 2-5GHz, тобто вони вже не могли б обробляти стільниковий зв'язок покоління 5G. По-друге, якщо виникне потреба зберегти сигнал для майбутнього аналізу, за лічені секунди вільного місця на диску не залишиться. Саме тому, для різних цілей і задач, існує три канонічних види архітектури приймача:

- Пряме квантування:** Процес квантизації проводиться напряду, без додаткової обробки. Цей процес потребує дороговартісного устаткування або ж вхідного сигналу на низьких частотах (що в свою чергу збільшує необхідну довжину антени з необхідною резонуючою частотою, оскільки для прямих антен ідеальна довжина обраховується з рівняння: $l = \frac{c}{f}$, де c - швидкість світла, а f - необхідна резонуюча частота).

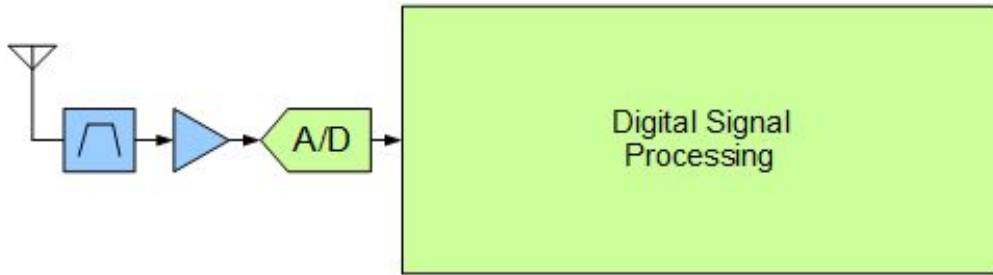


Рис. 1.6: Схема роботи приймача прямого квантування

- Пряме перетворення:** Процес квантизації проводиться за допомогою локального осцилятора і двох міксерів, що поєднують сигнал, згенерований осцилятором з отриманим сигналом. Це дозволяє зсунути вліво спектр отриманого сигналу, тобто якщо осцилятор працює на частоті f_o , то вхідний сигнал з частотою $f_o + \delta$ перетворюється в сигнал з частотою δ , а $f_o - \delta$ в $-\delta$. Це дозволяє проводити квантизацію з частотою яка дорівнює ширині сигналу. На виході отримують два сигнали в IQ нотації.

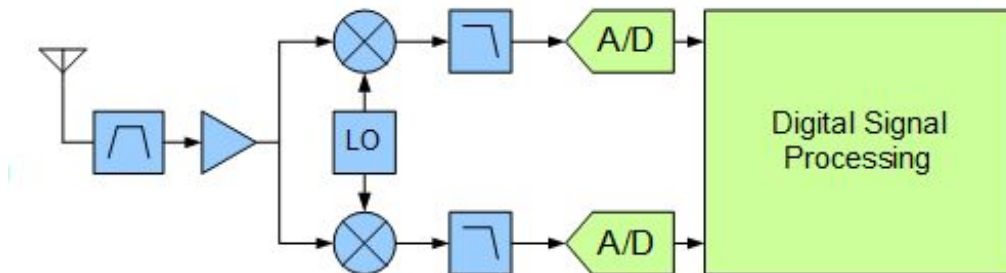


Рис. 1.7: Схема роботи приймача прямого перетворення

- Супергетеродинний радіоприймач:** Принцип роботи схожий до прямого перетворення, проте вхідний сигнал зміщується не

до нуля, а до якоїсь заданої проміжної частоти. Оскільки весь спектр цільового сигналу знаходиться у додатній півосі, то відсутня потреба в уявних числах при квантизації. Використовується майже в усіх сучасних радіо-приймачах.

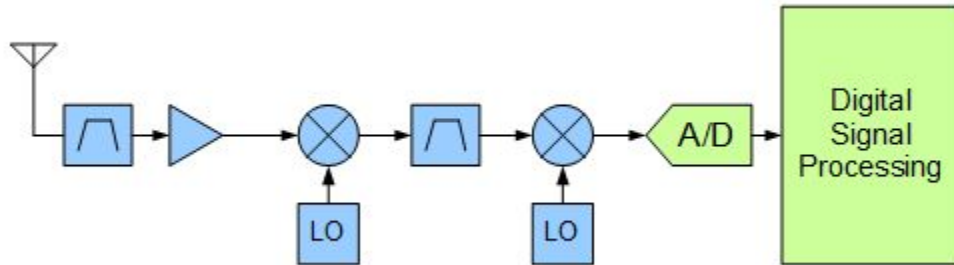


Рис. 1.8: Схема роботи супергетеродинного приймача

(Дані зображення взято з сайту panoradio-sdr.de)

1.4 Модуляція і демодуляція сигналу

Будь-який обмін інформацією у електричних системах (включаючи телекомунікаційні мережі, інтернет, радіостанції) відбувається за рахунок сигналів. В межах одного пристрою інформація закодується і передається в рамках одного електричного ланцюга у вигляді зміни напруги. В сучасних системах, найбільше сигналів генерується і опрацьовується саме в інтегральних мікросхемах (англ. integrated circuit, в багатьох випадках використовується скорочення IC). В загальному випадку, форма і вигляд цих сигналів може бути довільною, оскільки не регламентується ні фізичними параметрами ні державними законами.

Трохи інша ситуація для випадку передачі інформації з одного пристрою на інший. В першу чергу це зумовлено фізичними властивостями електромагнітних хвиль, що виражається в спроможності передавача безперешкодно передати потрібну інформацію на необхідну відстань. Окрім цього, використання радіочастот в багатьох країнах регулюються нормовимо-правовими актами, що регламентують розподіл смуг радіочастот відповідними радіослужбами і розподіляють визначені смуги радіочастот на частоти загального і спеціального призначення[1].

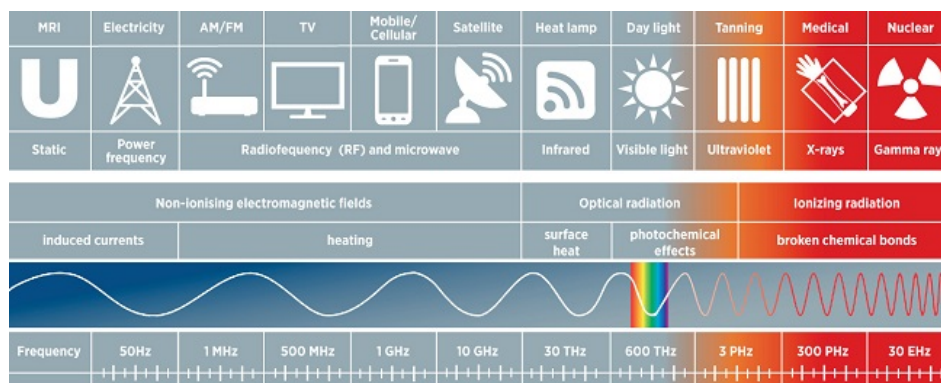


Рис. 1.9: Спектр електромагнітних коливань

Для того щоб приймач зміг правильно розкодувати сигнал, потрібно щоб між ним і передавачем існувала наперед встановлена система обробки сигналу. Перетворення інформації в сигнал називається модуляція, відповідно зворотний процес має назву демодуляція. Існує два види модуляції - Аналогова і Цифрова. Серед аналогових модуляцій найбільш поширеними є амплітудна модуляція, частотна модуляція і фазова модуляція. Серед дискретних - ASK (у вікіпедії перекладено як "амплітудна маніпуляція", мабуть варто якось краще назвати), ООК, FSK.

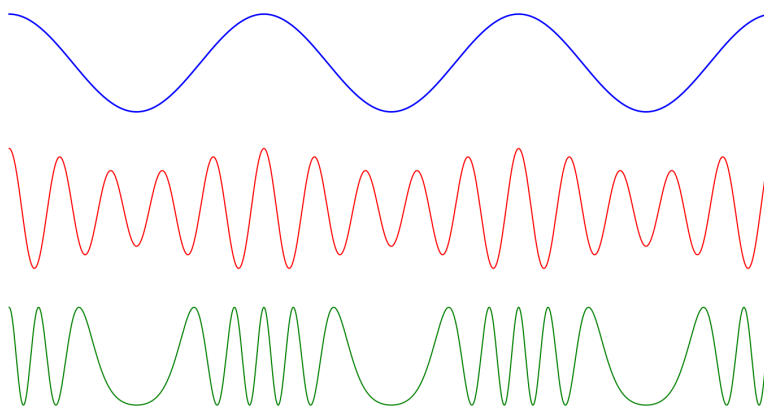


Рис. 1.10: Типи аналогової модуляції. Зверху вниз:
 - Оригінальний сигнал
 - Використання АМ-модуляції
 - Використання ФМ-модуляції

1.5 Перетворення Фур'є

У часовій області, сигнал задається своїми значеннями амплітуди у відношенні до часу або порядкового номеру. Проте, в деяких випад-

ках важливіше мати інформацію про частотну складову сигналу, ніж часову. Тобто необхідне відображення чигналу в частотній області, що називається спектром.

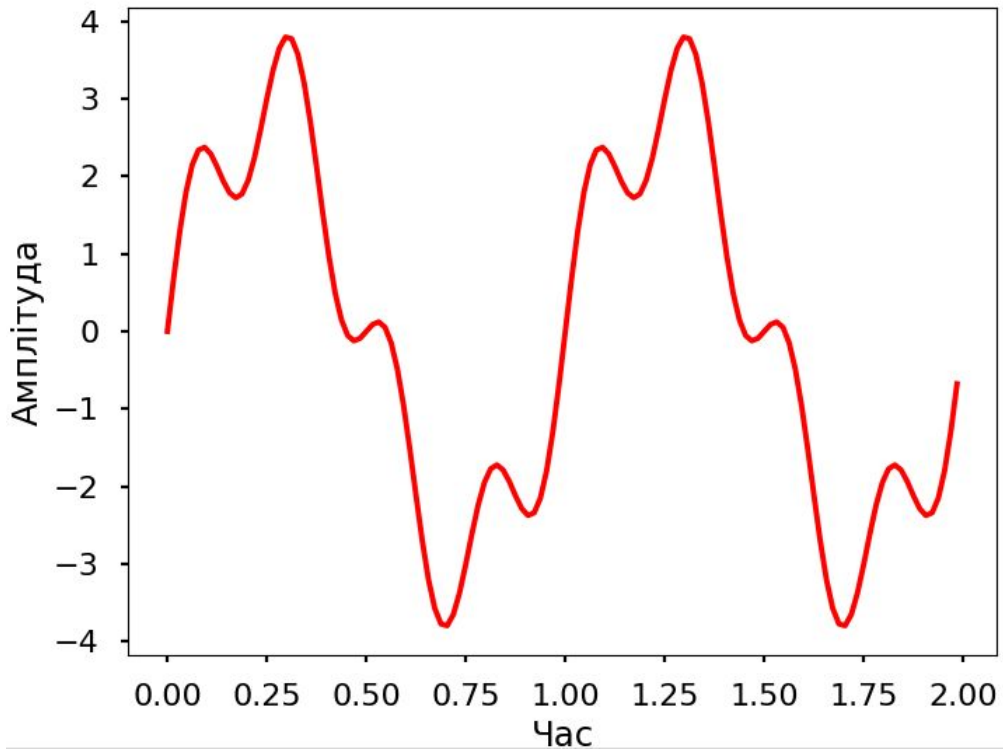


Рис. 1.11: Сигнал, поданий в звичайному вигляді

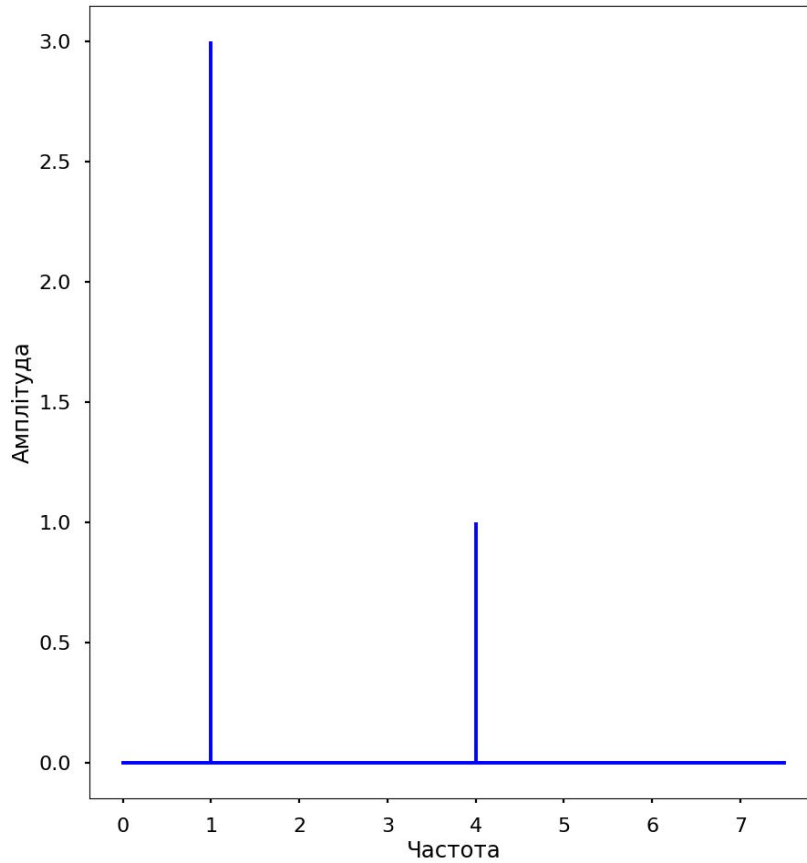


Рис. 1.12: Сигнал, поданий в частотному представленні

Алгоритм, що перетворює значення дискретного сигналу в частотну область називають дискретним перетворенням Фур'є або ж DFT (від англ. Discrete Fourier transform). DFT широко застосовується у спектральному аналізі, аудіо/фото/відео-обробці і системах комунікації.

DFT в своїй основі, як не дивно, використовує розклад періодичної функції в ряд Фур'є в комплексній формі. Отже, маємо формулу для ряду Фур'є:

$$f(x) = \sum_{n=-\text{inf}}^{\text{inf}} c_n * \exp(i2\pi x \frac{n}{N}) \quad (1.5.1)$$

, де T - відома імовірна частота функції $f(x)$, $c_k = \frac{1}{T} \int_T f(x) \exp(-i2\pi t \frac{k}{T}) dt$ - коефіцієнти Фур'є

Оскільки маємо справу з дискретно заданою функцією, замінимо інтегрування сумою Дарбу. Для цього необхідно знати частоту дискретизації f_0 . Також, підставимо значення часового проміжку дискретизації T_0 ($T_0 = 1/f_0 = T/N$) замість періоду T в формулу 1.5.1.

Отримаємо:

$$c_k = \frac{1}{N} \sum_{n=0}^{N-1} x(n) \exp(-i2\pi k \frac{n}{N}), \quad -\infty < k < \infty$$

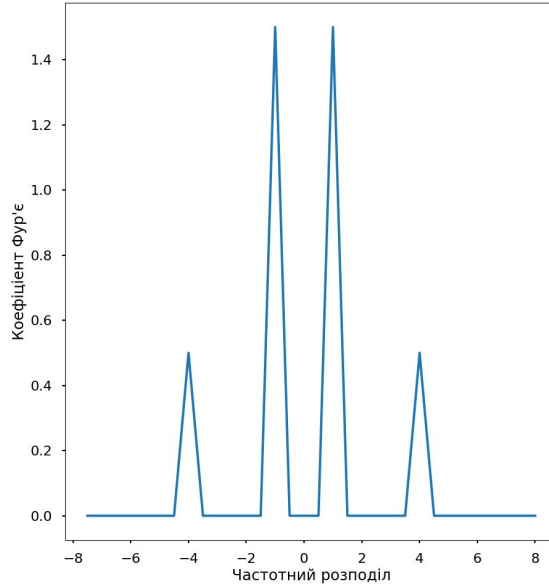


Рис. 1.13: Амплітудний спектр гармонічного сигналу

Легко побачити що даний вираз є періодичним, з періодом N , тобто $c_{k+N} = c_k$. Важливо розуміти, що межі частотного спектру лінійно залежать від вибраної частоти дискретизації. Більше того, Найквіст у своїй роботі “Certain Topics in Telegraph Transmission Theory” [2] доводить, що для дискретизації гармонічного сигналу, максимальна вагома частота якого є F_{max} необхідно обрати частоту дискретизації $f_0 > f_{max} = 2F_{max}$ у 1924 році. Пізніше Клауд Шенон у своїй роботі “Communication in the Presence of Noise” чітко сформував умови теореми, яка зараз відома під назвою “Теорема квантування”:

If a function $f(t)$ contains no frequencies higher than W cps, it is completely determined by giving its ordinates at a series of points spaced $1/2 W$ seconds apart

де W - це кутова частота, а $f(t)$ - вхідний сигнал. Зазвичай F_{max} називають частотою Найквіста. Також частота $f_0/2$ називається частотою згортання (folding frequency) оскільки функція $|c_k|$ є симетричною відносно даної точки. Якщо на вхід DFT подається дискретизований сигнал що складається лише з дійсних чисел, то ліва частина (тобто

спектральний проміжок $[-f_0/2, 0)$ буде повністю симетричним відносно правого. Даний факт дає нам змогу в деяких випадках розглядати амплітудний спектр сигналу лише на проміжку $[0, f_0/2]$

Проте, на практиці коефіцієнти Фур'є c_k при обробці сигналів не використовуються, натомість використовуються так звані коефіцієнти DFT що являють собою:

$$X(k) = Nc_k = \sum_{n=0}^{N-1} x(n) \exp(-i2\pi k \frac{n}{N}) \quad (1.5.2)$$

У випадку ряду Фур'є представлена не лише формула розкладу функції на коефіцієнти Фур'є, а й відповідна, тобто обернена до неї, формула знаходження функції за заданими коефіцієнтами 1.5.1. Як не дивно, обернена формула існує і для алгоритму DFT (і має назву inverse DFT):

$$x(n) = \frac{1}{N} \sum_{k=0}^{N-1} X(k) \exp(i2\pi k \frac{n}{N})$$

Амплітудний і фазовий спектр

Як можна помітити з виразу 1.5.2, кожен член $X(k)$ є числом комплексним, а отже його можна представити у вигляді суми дійсної і уявної частини, наприклад:

$$X(k) = R(k) + iI(k)$$

де $R(k)$ і $I(k)$ - дійсна і уявна частина.

Тоді магнітуду і зсув (їх ще називають амплітудний і фазовий спектр відповідно) для кожного коефіцієнту DFT можна знайти за допомогою наступних формул:

$$A(k) = |X(k)| = \sqrt{R(k)^2 + I(k)^2}$$

$$\theta(k) = \tan^{-1} \frac{R(k)}{I(k)}$$

Враховуючи симетричність частотного розподілу відносно точки початку координат, у багатьох випадках є сенс записати амплітудний спектр лише для проміжку $[0, f_0/2]$. Таким чином, зміниться і формула для обрахунку:

$$\bar{A}(k) = \begin{cases} |X(k)|, & k = 0 \\ 2|X(k)|, & k = 1, 2, \dots, N/2 \end{cases}$$

1.6 Швидке перетворення Фур'є

Проаналізуємо формулу 1.5.2 на асимптотику. Для кожного значення k (із проміжку $\overline{0, N}$) потрібно виконати N операцій додавання, отже загалом маємо $O(N^2)$ операцій в нотації Ландау, що доволі багато. Проте, за рахунок ділення сум на дві частини, можливо оптимізувати алгоритм до $O(N * \log(N))$. Даний алгоритм отримав назву Швидке Перетворення Фур'є (Fast Fourier Transform, FFT).

Хоча алгоритмів котрі можуть називатись FFT, а отже оптимізують DFT до $O(N * \log(N))$, існує декілька, в даній роботі викладено лише найбільш поширений, а саме метод Кулі-Тьюка [4].

В оригінальній роботі автори розглядають можливість оптимізації DFT за умови, коли N можна представити як добуток цілих чисел, тобто $N = r_1 \cdot r_2 \cdot \dots \cdot r_m$. В такому випадку асимптотична кількість операцій буде $O(N \cdot (r_1 + r_2 + \dots + r_m))$. Якщо ж припустити що $r_1 = r_2 = \dots = r_m = r$ то $N = r^m$ і, відповідно, асимптотика буде мати значення $O(r \cdot N \cdot m) = O(r \cdot N \cdot \log_r N)$. За таких умов значення $r = 3$ є формально найбільш ефективним вибором (оскільки дає найбільш вигідне співвідношення складності обчислень до кількості вхідних даних) проте використання $r = 2$ дає змогу зекономити кількість використаної оперативної пам'яті або ж використовувати операції бінарного множення. На практиці, багато реалізованих алгоритмів потребують на вхід точки дискретизації, кількість яких буде степенем двійки.

1.7 Z-перетворення

z-перетворення відіграє дуже важливу роль у описі архітектури і аналізі цифрових систем. Воно також використовується для побудови цифрових фільтрів і частотному аналізі цифрових сигналів. Но для початку потрібне чітке визначення. Z-перетворення дискретної послідовності $x(n)$ позначається символом $Z(x(n))$ і визначається наступною формулою:

$$Z(x(n)) = \sum_{n=0}^{\inf} x(n) * z^{-n} = x(0) * z^{-0} + x(1) * z^{-1} + \dots$$

де z - комплексне число. Сумування проводиться від $n = 0$ до $n = \inf$ оскільки логічно припустити, що дискретний сигнал $x(n) = 0$ для $n < 0$. Оскільки маємо справу з нескінченною сумою, то очевидно що в багатьох випадках дана сума буде прямувати до нескінченності. Для

подальшого аналізу найбільшу цінність мають ті значення z , при яких дана сума збігається до якогось числа. Така множина значення z називається *областю збіжності*. Очевидно, що ця область залежить від розглядуваної послідовності $x(n)$. Нижче наведено декілька прикладів z -перетворення і області збіжності для елементарних сигналів:

| $x(n), n > 0$ | z -перетворення, $Z(x(n))$ | Область збіжності |
|---------------|---------------------------------|-------------------|
| $\delta(n)$ | 1 | $ z > 0$ |
| $a * u(n)$ | $\frac{a * z}{z - 1}$ | $ z > 1$ |
| $n * u(n)$ | $\frac{z}{(z - 1)^2}$ | $ z > 1$ |
| $n^2 * u(n)$ | $\frac{z * (z + 1)}{(z - 1)^3}$ | $ z > 1$ |
| $a^n * u(n)$ | $\frac{z}{z - a}$ | $ z > a$ |

де символами $\delta(n)$, $u(n)$, a позначені дельта функція, функція Хевісайда та довільна константа відмінна від нуля, відповідно.

Властивості z -перетворення

Властивості z -перетворення широко використовуються при отриманні z -перетворюваних функцій диференціальних рівнянь і розв'язку задач на вихід лінійних цифрових систем з сталими коефіцієнтами, що буде розглянуто в наступному пункті.

- **Лінійність:** z-перетворення є лінійним перетворенням, що означає

$$Z(ax_1(n) + bx_2(n)) = aZ(x_1(n)) + bZ(x_2(n))$$

де $x_1(n)$ і $x_2(n)$ - дискретні послідовності, а a і b - довільні константи

- **Зсув за часом:** для кожного z-перетворення $Z(x(n))$ існує z-перетворення $x(n-m)$ таке що:

$$Z(x(n-m)) = z^{-m}Z(x(n))$$

, що називається затримкою або зсувом за часом. Дана властивість відіграє важливу роль у знаходженні перехідної функції з диференціальних рівнянь.

- **Згортка:** маючи дві послідовності $x_1(n)$ та $x_2(n)$, їхня згортка може бути визначена як:

$$x(n) = x_1(n) * x_2(n) = \sum_{k=0}^{\text{inf}} x_1(n-k)x_2(k)$$

де * позначає лінійну згортку. В області z-перетворення маємо наступну формулу:

$$Z(x(n)) = Z(x_1(n))Z(x_2(n))$$

Зворотнє z-перетворення

Пряме z-перетворення дискретної послідовності $x(n)$ і зворотнє z-перетворення функції $Z(x(n))$ позначаються відповідно:

$$X(z) = Z(x(n))$$

$$x(n) = Z^{-1}(X(z))$$

де $Z()$ - це оператор z-перетворення, і $Z^{-1}()$ - зворотній оператор. Він може бути отриманий як мінімум трьома методами:

- **1.** Розкладом на прості дроби і подальшого пошуку значень у таблиці [1.7](#)
- **2.** Розкладом степеневого ряду

- **3.** Методом невизначених коефіцієнтів

Перший випадок є найбільш вживаним і за загальними рисами не відрізняється від сетоду розкладу на прості дроби у методі для перетворення Лапласа. Розглянемо один приклад з використанням даного методу:

Приклад:

Нехай $X(z) = \frac{10z}{z^2 - z + 1}$

Потрібно знайти зворотнє z-перетворення

Розв'язання:

Введемо нову змінну: довільну константу a

Тоді, цю константу можна підібрати таким чином, щоб виконувалась наступна рівність:

$$\frac{10z}{z^2 - z + 1} = \left(\frac{10}{\sin(a)} \right) \frac{\sin(a)z}{z^2 - 2z\cos(a) + 1} \quad (1.7.1)$$

В лівій частині $\sin(a)$ може приймати довільні, відмінні від нуля, значення з множини раціональних чисел. В той же час, щоб рівність виконувалась потрібно щоб:

$$-2\cos(a) = -1$$

Звідси отримуємо:

$$\cos(a) = 0.5$$

$$a = 60^\circ \text{ або } a = \frac{\pi}{3}$$

Підставляючи дані значення у ліву частину 1.7.1 отримаємо:

$$x(n) = \frac{10}{\sin(a)} Z^{-1} \left(\frac{\sin(a)z}{z^2 - 2z\cos(a) + 1} \right) = \frac{10}{0.8666} \sin \left(\frac{\pi n}{3} \right) = 11.547 \sin \left(\frac{\pi n}{3} \right)$$

Використання z-перетворення для розв'язку різницевих рівнянь

Для розв'язку різницевих рівнянь з заданими початковими значеннями, необхідно оперувати зсунутими за часом послідовностями $y(n-$

1), $y(n-2)$, $y(n-3)$, ..., $y(n-m)$ і так далі. Використовуючи означення z -перетворення, маємо:

$$\begin{aligned} Z(y(n-1)) &= \sum_{n=0}^{\infty} y(n-1)z^{-n} \\ &= y(-1) + y(0)z^{-1} + y(1)z^{-2} + \dots \\ &= y(n-1) + z^{-1}(y(0) + y(1)z^{-1} + y(2)z^{-2} + \dots) \end{aligned}$$

Для простоти запису замінімо дужки в лівій частині на $Y(z)$. Отримаємо:

$$Z(y(n-1)) = y(-1) + z^{-1}Y(z)$$

Аналогічний принцип для $n-2$:

$$\begin{aligned} Z(y(n-2)) &= \sum_{n=0}^{\infty} y(n-2)z^{-n} \\ &= y(-2) + y(-1)z^{-1} + y(0)z^{-2} + y(1)z^{-3} + \dots \\ &= y(-2) + y(-1)z^{-1} + z^{-2}(y(0) + y(1)z^{-1} + y(2)z^{-2} + \dots) \\ Z(y(n-2)) &= y(-2) + y(-1)z^{-1} + z^{-2}Y(z) \end{aligned}$$

$$Z(y(n-m)) = y(-m) + y(-m+1)z^{-1} + \dots + y(-1)z^{-(m-1)} + z^{-m}Y(z)$$

де $y(-m)$, $y(-m+1)$, ..., $y(-1)$ - початкові умови. Якщо ж припустити що всі початкові умови рівні нулю, тоді отримаємо:

$$Z(y(n-m)) = z^{-m}Y(z)$$

Що є аналогічним до властивості z -перетворень зсвіві за часом. Загалом процедура знаходження розв'язку різницевого рівняння описується наступними тезами:

- **1.** Застосувати z -перетворення до різницевого рівняння
- **2.** Відняти початкові умови
- **3.** Розв'язати рівняння в z -області
- **4.** Застосувати обернене z -перетворення до розв'язку

Розділ 2

Фільтри

2.1 Теорія цифрових фільтрів

2.1.1 Використання різницевого рівняння у цифрових фільтрах

Нехай $x(n)$ та $y(n)$ - вхід та вихід системи ЦОС, відповідно. Зв'язок між входом і виходом можна зобразити за допомогою наступного різницевого рівняння:

$$y(n) = b_0x(n) + b_1x(n-1) + b_2x(n-2) + \dots + b_kx(n-k) - a_1y(n-1) - a_2y(n-2) - \dots - a_ly(n-l) \quad (2.1.1)$$

або ж

$$y(n) = \sum_{i=0}^k b_ix(n-i) - \sum_{j=1}^l a_jy(n-j) \quad (2.1.2)$$

де b_i, a_j - дійсні константи. Тобто, для обрахунку вихідного сигналу на n -му кроці, необхідно мати k попередніх вхідних значень і l попередніх вихідних. Дана система називається цифровим фільтром. Використаємо z -перетворення ($X(z)$ - позначає z -перетворення для сигналу $x(n)$, $Y(z)$ - для сигналу $y(n)$):

$$Y(z) = b_0X(z) + b_1X(z)z^{-1} + \dots + b_kX(z)z^{-k} - a_1Y(z)z^{-1} - \dots - a_ly(z)z^{-l}$$

Звідси отримуємо функцію $H(z)$, яка називається передатною функцією

$$H(z) = \frac{Y(z)}{X(z)} = \frac{b_0 + b_1z^{-1} + \dots + b_kz^{-k}}{1 + a_1z^{-1} + \dots + a_ly^{-l}}$$

За допомогою передатної функції можна визначити стабільність і АЧХ даного фільтру. Імпульсна характеристика (тобто реакція фільтру на імпульсний вхідний сигнал):

$$h(n) = Z^{-1}\{H(z)Z\{\delta(n)\}\} = Z^{-1}\{H(z)\}$$

Стрибкова характеристика - реакція фільтру на функцію Хевісайда:

$$X(z) = Z[\sigma(n)] = \frac{z}{z-1}$$

$$y(n) = Z^{-1}\left\{\frac{zH(z)}{z-1}\right\}$$

Введемо ще одне позначення. Нехай символом \angle позначається аргумент комплексного числа. Тобто, комплексне число $z = r(\cos(\varphi) + i\sin(\varphi))$ може бути записане як $r\angle\varphi$ або ж $|z|\angle\varphi$.

Для квантованого сигналу існує чіткий зв'язок між перетворенням Лапласа і z-перетворенням, і описується рівнянням:

$$z = e^{sT}$$

Де s - параметер перетворення Лапласа. Для того щоб оперувати лише раціональними числами доцільно зобразити цей параметр як сукупність дійсного і уявного числа:

$$z = e^{-\alpha T \pm i\omega T} = e^{-\alpha T} \angle \pm \omega T$$

Також, зручно замінити $\Omega = \omega T$. В такому разі, значення магнітуди АЧХ і зсуву по фазі буде відповідно $|H(e^{i\Omega})|$ і $\angle H(e^{i\Omega})$

Приклад:

Нехай задано коефіцієнти фільтру $a_i = [0.5, 0.5]$

Потрібно побудувати АЧХ і зсув по фазі

Розв'язання

Маємо загальний вигляд фільтру і його z-перетворення:

$$y(n) = 0.5x(n) + 0.5x(n-1)$$

$$Y(z) = 0.5X(z) + 0.5z^{-1}X(z)$$

Звідси можливо обчислити перехідну функцію:

$$H(z) = \frac{Y(z)}{X(z)} = 0.5 + 0.5z^{-1}$$

$$H(e^{i\Omega}) = 0.5 + 0.5\cos(\Omega) - 0.5i\sin(\Omega)$$

Тому магнітуда АЧХ і її графік буде мати наступний вигляд:

$$|H(e^{i\Omega})| = \sqrt{(0.5 + 0.5\cos(\Omega))^2 + (0.5\sin(\Omega))^2}$$

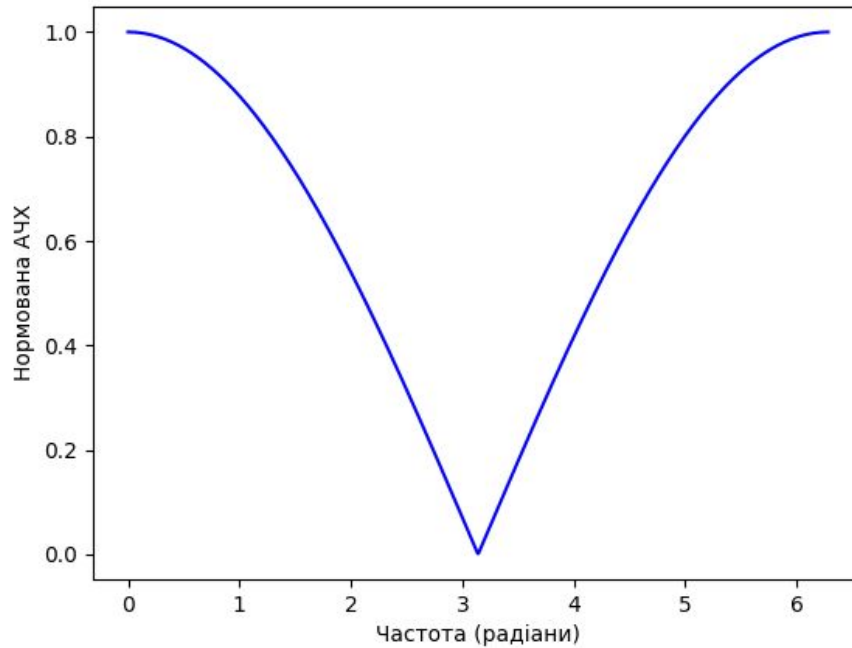


Рис. 2.1: Графік магнітуди АЧХ

Аналогічно для зсуву по фазі:

$$\angle H(e^{i\Omega}) = \arctan\left(\frac{-0.5\sin(\Omega)}{0.5 + 0.5\cos(\Omega)}\right)$$

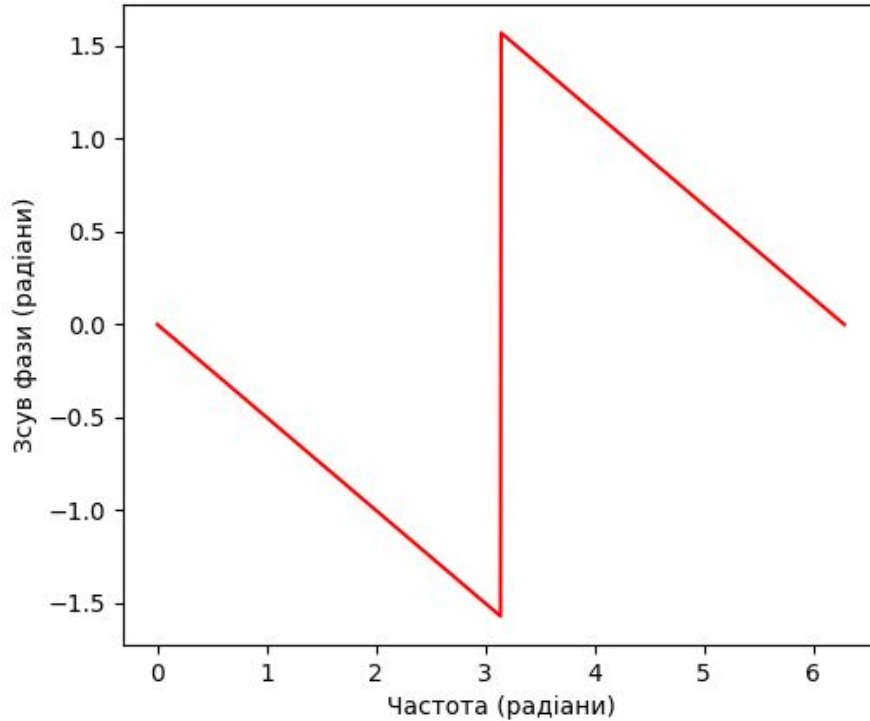


Рис. 2.2: Графік зсуву фази

Проте, не завжди зручно вимірювати відносну частоту в радіанах. Якщо відома частота дискретизації f_s , тоді можливо перевести розподіл АЧХ з радіан в Герци за допомогою наступної формули:

$$f = \frac{f_s \Omega}{2\pi} (\text{Hz}) \quad (2.1.3)$$

В той же час, розмірність радіанів частоти використовуються для позначення загальної характеристики фільтру, без конкретної привязки до частоти дискретизації.

Також, на практиці користуються логарифмічним позначенням АЧХ (що вимірюється в dB) замість нормованого коефіцієнту:

$$H = 20 \log_{10}(H(e^{i\Omega}))(dB) \quad (2.1.4)$$

Оскільки Ω лежить на проміжку $[0, 2\pi]$, то за формулою 2.1.3 $f \in [0, f_s]$. Проте, при цифровій обробці інформації, фактична робота може виконуватись лише з частотами нижчими за частоту Найквіста, тобто $[0, \frac{f_s}{2}]$. Тому значеннями на $[\pi, 2\pi]$ можна знехтувати.

2.1.2 Різновиди цифрових фільтрів

За видом придушення АЧХ вхідного сигналу фільтри поділяються на:

- Фільтр низьких частот (low-pass filter *англ.*) - вид фільтру який придушує АЧХ з високою частотою, а ті що нижче заданої частоти зрізу - пропускає зазвичай без змін
- Фільтр високих частот (high-pass filter *англ.*) - вид фільтру, який навпаки, придушує сигнали з низькими частотами
- Смуговий фільтр (bandpass filter *англ.*) - вид фільтру, що пропускає частоти, які лежать в певному діапазоні, а решту - придушує. Отримується шляхом одночасного застосування фільтру низьких і високих частот, де частота зрізу ФНЧ більша за частоту зрізу ФВЧ
- Режекторний фільтр (band-reject filter *англ.*) - протилежний до попереднього, придушує АЧХ у певному діапазоні. Використовується для придушення небажаних сигналів, наприклад, у електрокардіографах або при обробці звуку.

Також, за характером різницевого рівняння фільтри поділяють на H_kIX та KIX .

KIX (FIR, finite impulse response, *англ.*) - різновид фільтру з скінченною імпульсною характеристикою. Заданий рівнянням 2.1.2 в якому всі $a_j = 0$. В такому випадку, наступне значення вихідного сигналу залежить лише від k попередніх значень вхідного сигналу. Якщо на вхід такого фільтру подати одиничний імпульс, то починаючи з $k+1$ -го значення вихідний сигнал буде дорівнювати нулю. Різницева функція має наступний вигляд:

$$H(z) = \sum_{i=0}^k b_i z^{-i}$$

H_kIX (IIR, infite impulse response, *англ.*) - вид фільтру з нескінченною імпульсною характеристикою. Також називається рекурсивними фільтром, оскільки для обрахунку вихідного сигналу використовується як попередні значення вхідного так і вихідного сигналів. На відміну від KIX фільтрів, може бути не стабільним. Передатна функція виглядає наступним чином:

$$H(z) = \frac{b_0 + b_1 z^{-1} + \dots + b_k z^{-k}}{1 + a_1 z^{-1} + \dots + a_l z^{-l}}$$

Однією із головних проблем НКІХ фільтрів є округлення чисел з плаваючою точкою, що є результатом послідовних множень. Більш детально ця проблема розглядалась в наступній праці [7].

При виборі фільтру для обробки дискретизованого сигналу інженери або науковці використовують наступні показники:

- A_{pass} - різниця між максимальним і мінімальним значенням у смузі пропускання
- A_{stop} - різниця між максимальним і мінімальним значенням у смузі подавлення
- F_{pass} - (частота зрізу) - гранична частота смуги пропускання
- F_{stop} - гранична частота для смуги подавлення
- N - кількість доданків необхідних для обчислення вихідного сигналу

Зазвичай, збільшення кількості коефіцієнтів покращує решту характеристик, проте також суттєво збільшує час на обробку сигналу, що може бути неприпустимо у системах що працюють у режимі реального часу

2.2 Покращення характеристик сигналу

При використанні КІХ фільтрів доволі часто на частотному спектрі спостерігається виникнення бічних пелюсток. Воно пов'язане з тим, що кількість квантувань сигналу набагато менша за кількість точок при перетворенні Фур'є. Одним із рішень є збільшити довжину оброблюваного сигналу, проте це збільшить час необхідний на передачу і отримання сигналу. Інший спосіб - це використання віконних функцій.

Наприклад, на вхід подається гармонійний сигнал з частотою 1Hz. При використанні 50 точок квантування частотний розподіл буде виглядати наступним чином:

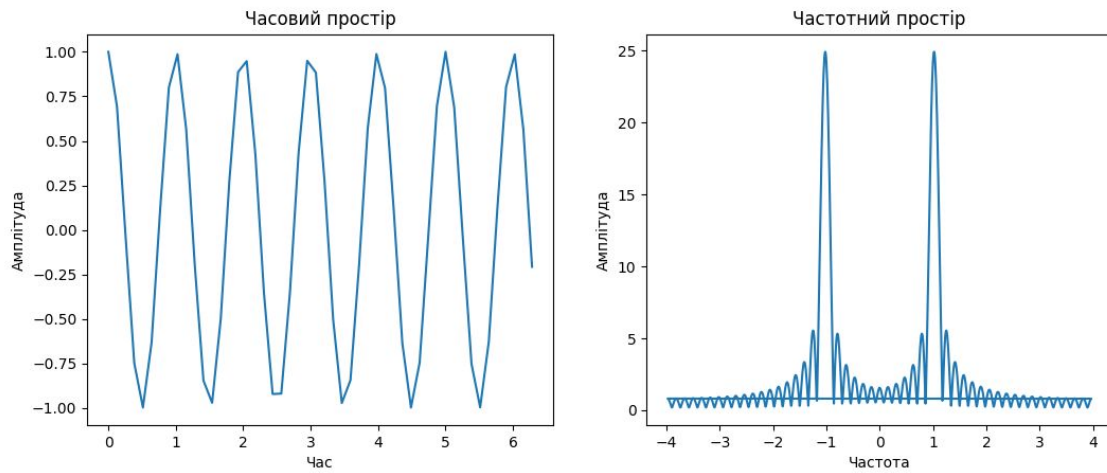


Рис. 2.3: Графік магнітуди АЧХ

Якщо ж використати віконну функцію Блекмена домножити на вхідний сигнал, то отримаємо більш гладкий частотний спектр:

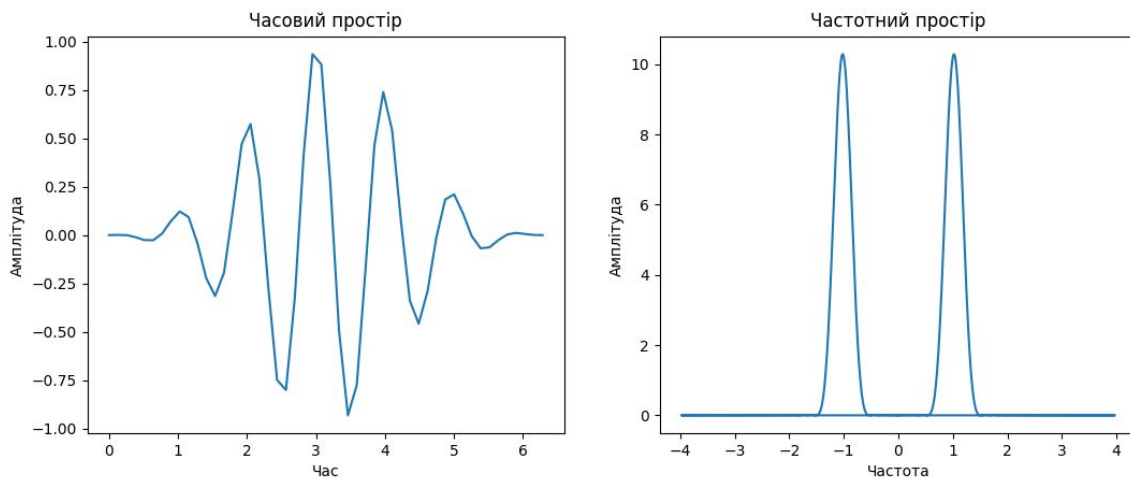


Рис. 2.4: Графік магнітуди АЧХ

2.3 Різновиди цифрових фільтрів та їх застосування

2.3.1 Фільтр рухомого середнього

Є одним з найпростіших, а також, одним з найбільш розповсюджених фільтрів. За характером передатної функції належить до класу КІХ фільтрів, за методом придушення АЧХ - фільтр низьких частот. Дуже широко використовується у фінансах, обробці зображень і, також, у

обробці сигналів. Основна задача даного методу полягає у "згладжуванні кутів тобто для того щоб зменшити вплив різких, малозначимих сигналів на подальшу обробку. Частотна характеристика фільтру порядку 4 має наступний вигляд:

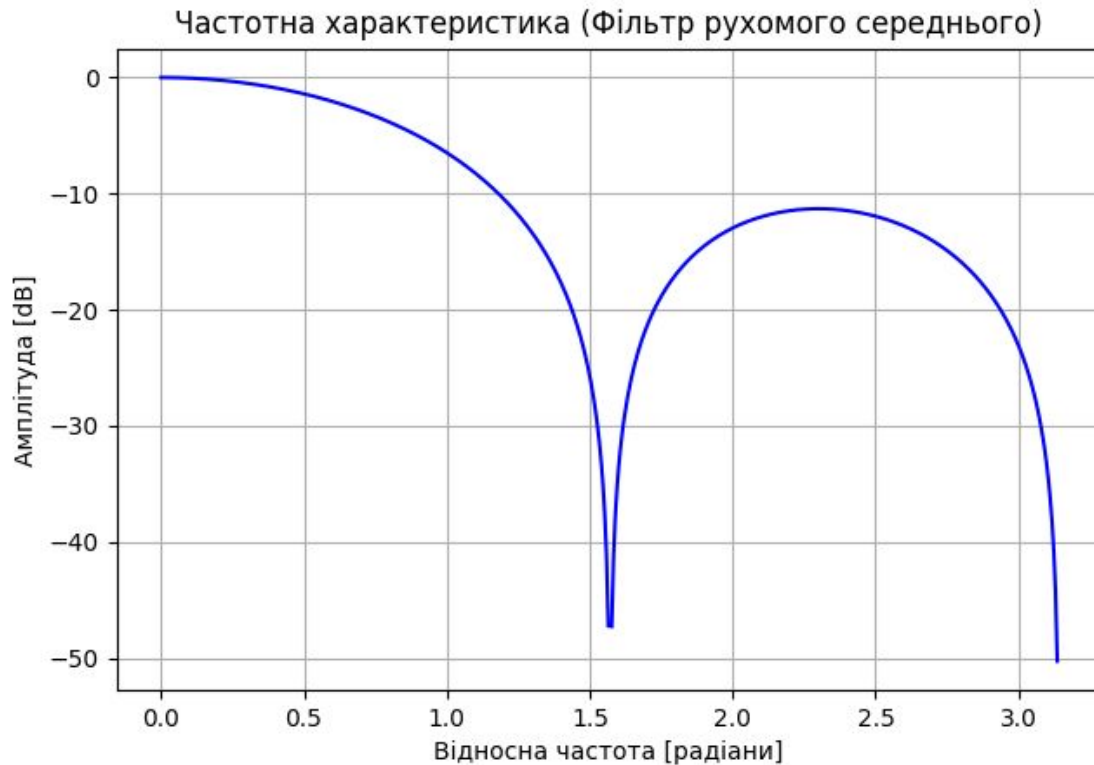


Рис. 2.5: Частотна характеристика

Конкретні приклади використання даного фільтру на практиці можна знайти в уроках програмної обробки зображень (https://docs.opencv.org/4.x/d4/d13/tutorial_py_filtering.html) або ж у проєктах з відкритим вихідним кодом. Наприклад, набір програм Klampt використовує рухоме середнє для тестування вхідних даних: <https://github.com/krishauser/Klampt/blob/master/Python/klampt/control/blocks/core.py#L717> Більш детально про використання фільтру рухомого середнього у галузі економіки описано в наступній праці: [8]

Переваги: висока швидкість роботи, простота у реалізації

Недоліки: Дуже вузька смуга пропускання, велика різниця між граничною частотою смуги пропускання і смуги затухання, коливання частоти в смугі пропускання.

Висновок: враховуючи частотні характеристики, даний фільтр не варто використовувати в якості фільтра низьких частот. Проте він може бути використаний в ситуації, коли потрібно досягти плавних пе-

реходів між близькими значеннями, наприклад у обробці аудіо або зображень.

2.3.2 Фільтр Баттерворта

Вперше описаний британським інженером і фізиком Стівеном Баттервортом у статті «Про теорію фільтруючих підсилювачів»[9]. За характером передатної функції належить до класу КІХ фільтрів, за методом придушення АЧХ - фільтр низьких частот, проте може виступати у якості фільтру високих частот, смуговим або режекторним. Є найбільш поширеним з усіх НкІХ фільтрів. Частотна характеристика фільтру порядку 4 має наступний вигляд:

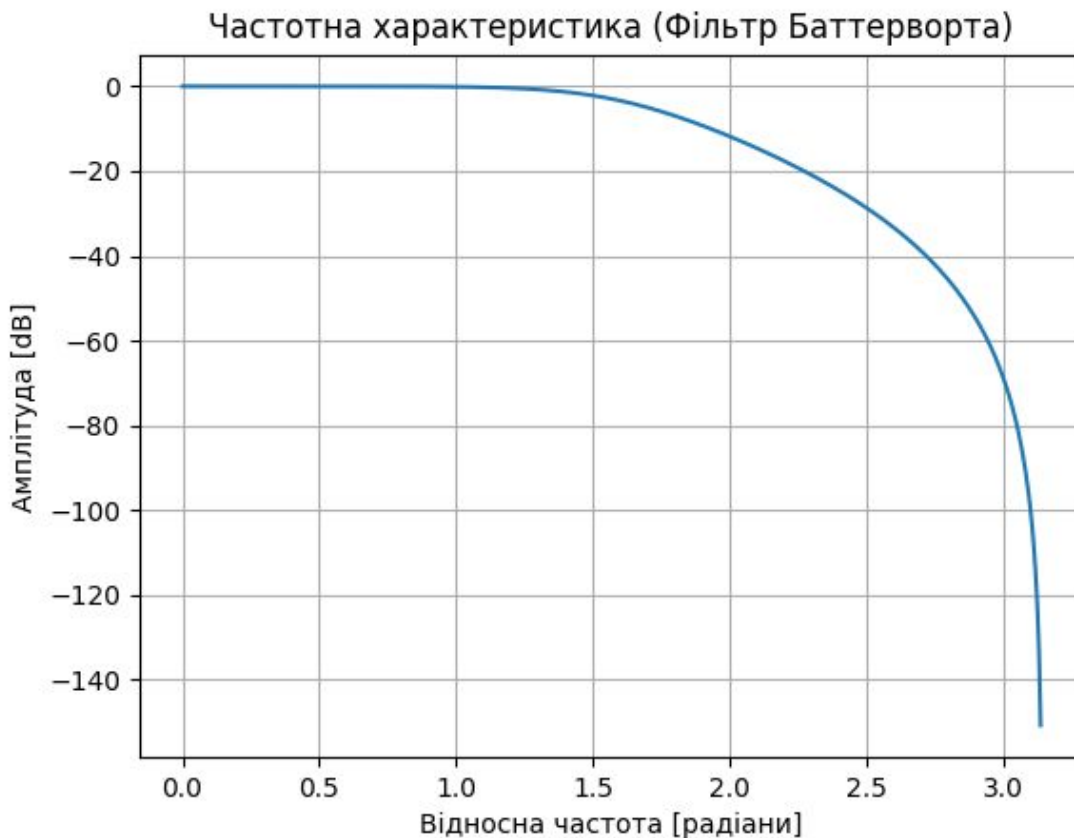


Рис. 2.6: Частотна характеристика

Як видно з графіку, смуга пропускання є дуже плоскою, в той час як перехід від смуги пропускання до смуги затухання є плавним.

У публічно доступних проектах з відкритим вихідним кодом можна знайти багато використань даного фільтру. Наприклад, ось некомерційний проект від компанії Google, що аналізує букви у вимові вико-

ристовує фільтр Баттерворта 2-го роду для обробки аудіо: <https://github.com/google/audio-to-tactile/blob/main/src/dsp/butterworth.h#L16>, або ж проект від компанії Microsoft, що аналізує ходу людей і може використовуватись для контролю лікування різного роду хвороб опорно-рухового апарату: <https://github.com/microsoft/GaitAndBalanceApp/blob/master/Analysis/Trajectory.cs#L288>

Переваги: Дуже плоска смуга пропускання

Недоліки: Велика різниця між частотою пропускання і затухання, відсутність смуги пропускання

Висновок: Фільтр Баттерворта повинен бути застосований в тих випадках, коли необхідно зберегти АЧХ і ФЧХ смуги пропускання без змін. Меншої різниці між частотою пропускання і затухання можна досягти шляхом збільшення порядку фільтру.

Розділ 3

Практична частина

3.1 Інструменти

Для практичного виконання задач поставлених даною темою найкраще підходять маніпуляції саме з електромагнітними сигналами. Для досягнення цілі існує два шляхи: генерація і збір сигналів за допомогою електричних приборів (наприклад, осцилятора) або ж симуляція повного циклу електричного кола на спеціалізованих програмних платформах. З найпоширеніших засобів можна виділити наступні:

- SPICE - опенсоурсна консольна програма для симуляції зміни напруги і струму на різних ділянках електричного струму. Дуже часто використовується в якості бекенду для інших графічних програм
- EasyEDA - безкоштовна онлайн платформа для дизайну друкованих плат, побудови електричних кіл та їх симуляції. Однією з особливостей є тісна інтеграція з виробниками деталей, що дозволяє користувачам в декілька кліків замовити необхідні запчастини або ж готову друковану плату. На відмінну від більшості аналогів, має простий, зручний і гарний дизайн.
- GNU Radio - набір для розробки програм з відкритим вихідним кодом. Для побудови ланцюга системи ЦОС використовує функціональні блоки. На вхід може подаватись сигнал з підключених пристроїв або ж з файлу
- мова програмування Python - скриптова мова програмування, дуже зручна для написання невеликих проектів. Містить потрібні

бібліотеки для роботи з великими масивами чисел (`numpy`), науковими і технічними обчисленнями (`scipy`), а також для роботи з форматами збереження цифрових сигналів (`SigMF`)

Враховуючи всі переваги і недоліки перелічених систем для виконання практичної частини я обрав саме мову програмування Python, оскільки саме гнучкість даного інструменту є необхідною умовою при роботі зі складними структурами. Для написання та тестування програмного коду використовувалось інтегроване середовище розробки PyCharm [10].

Також для роботи необхідні дані, над якими проводиться аналіз. Оскільки я не маю SDR приймача, то було прийнято рішення використати вже зібрані дані, які знаходяться в публічному просторі, а саме з URL адреси <https://www.sdrplay.com/iq-demo-files/>.

3.2 Обробка сигналу

Спектр демодульованого FM-сигналу буде виглядати наступним чином:

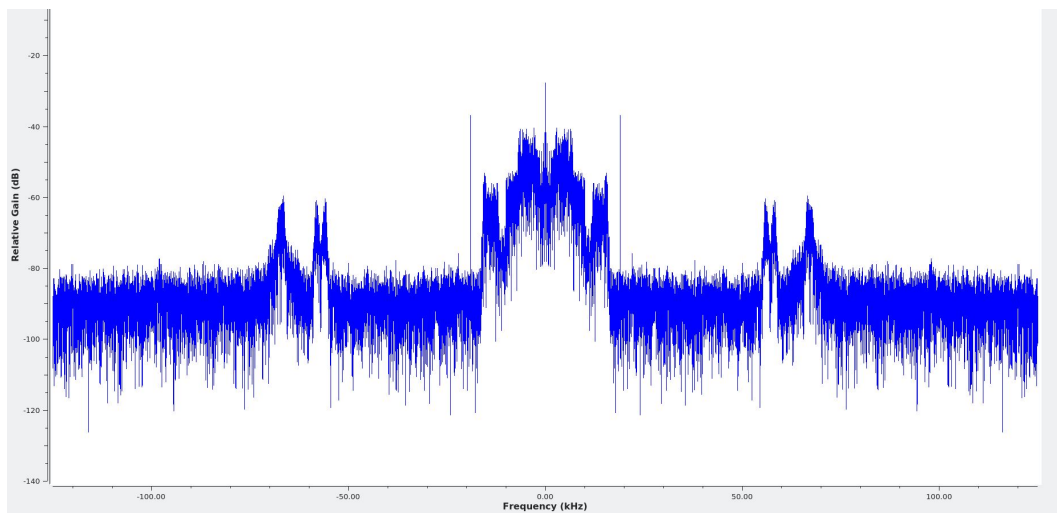


Рис. 3.1: Спектр демодульованого сигналу

На основі цього можна зробити висновок, що FM сигнал складається з декількох сигналів:

- 0-16 kHz - Потужний сигнал
- 19 kHz - Імпульсний сигнал

- 20-54 kHz - Начебто відсутність будь-якого сигналу
- 56 kHz і 58 kHz - Два доволі потужних, но вузьких за спектром сигнали
- 60-73 kHz - Однопелюсковий сигнал

Далі спостереження наочно корелюють з одним із можливих видів смуг FM-сигналу:

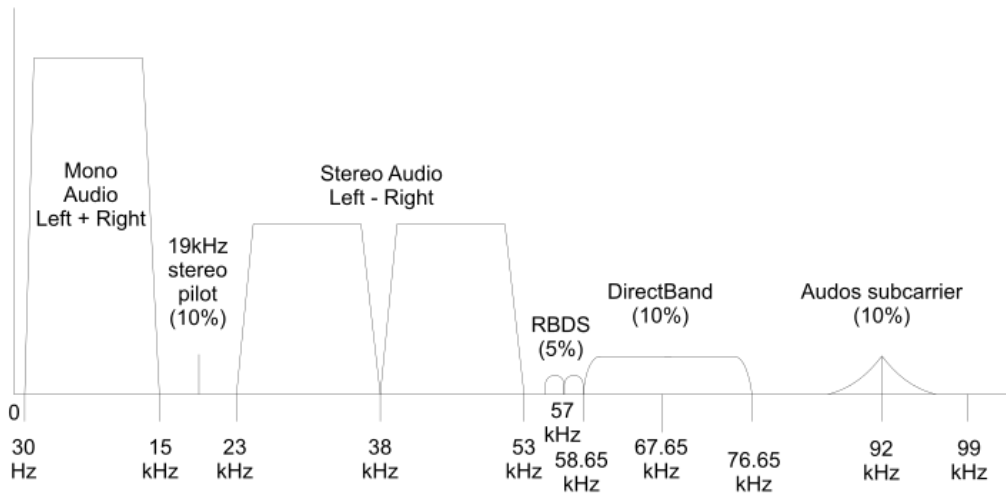


Рис. 3.2: Спектр можливого розміщення сигналів (взято з сайту *wikipedia.en*)

Варто зазначити, що сигнали RBDS та DirectBand не впливають на звучання аудіо сигналу, а лише слугують носіями для метаданих. Як логічний наслідок, не всі FM-радіосигнали мають дані смуги. Імпульсний сигнал використовується для декодування стерео аудіо.

Для демодуляції використовується Квадратурна демодуляція.

3.2.1 RDS протокол

Даний протокол детально описаний в даному документі на 132 сторінки [11].

Інформація передається у формі бітів, зі швидкістю 1187.5 біт/с. Для транспортування використовуються групи розміром 104 біти. Кожна група містить 4 блоки, які, в свою чергу складаються з корисного навантаження в 16 бітів і CRC хеш-суми в 10 бітів. З метою синхронізації, до хеш-суми додано офсети слів A, B, C, D та E з наступними значеннями[12]:

```
#           A,      B,      C,      D,      E
offset_word = [252, 408, 360, 436, 848]
```

Рис. 3.3: Значення, що використовуються для синхронізації окремих блоків

Далі, двійковий сигнал закодується методом різниці. До отриманого цифрового сигналу застосовується SRRC фільтр, з метою обрізання зайвих частот, які присутні в цифрових сигналах. Отриманий сигнал модулюється використовуючи бінарну фазову маніпуляцію.

3.2.2 Принцип роботи

Отриманий сигнал збережений у IQ форматі, що був описаний у розділі 1.5. Він демодулюється за допомогою квадратурної демодуляції, що в результаті дає сигнал з дійсними значеннями, спектр якого зображений на 3.1.

Отримання аудіо сигналу

Наступним кроком може бути використання фільтру низьких частот з частотою зрізу в 19kHz, провести процедуру пониження квантування, переведення масиву до типу даних, з яким зможуть працювати більшість аудіо-відтворювачів і запис масиву у файл. Даний код реалізовано в процедурі `sound_output(...)`

```

def sound_output(x, srate):
    # plot_waterfall(x, sample_rate=srate, freq_center=0)
    # Filter-out everything except mono audio
    x = si.sosfilt(si.butter(2, 20e3, fs=srate, output="sos"), x)

    # plot_waterfall(x, sample_rate=srate, freq_center=0)

    # downsample by 6 to get mono audio
    x = si.decimate(x, 6)
    sample_rate_audio = srate//6

    # normalize volume so its between -1 and +1
    x /= np.max(np.abs(x))

    # convert from float to int16s
    x *= 32767
    x = x.astype(np.int16)

    wavfile.write('fm.wav', int(sample_rate_audio), x)
    # os.system("aplay fm.wav")

```

Рис. 3.4: Отримання аудіо-запису з демодульованого сигналу

Отримання RDS сигналу

Для початку необхідно виокремити смугу RDS зі всього сигналу. Оскільки смуга не лежить біля нульової частоти, її потрібно змістити. Для цього необхідна властивість перетворення Фур'є зсуву частот. Далі процедура аналогічна попередньому пункту. Даний код реалізовано в функції `get_rds_from_fm(...)`:

```

def get_rds_from_fm(x, sample_rate):
    # Freq shift to the center of the rds
    N = len(x)
    f_o = -57e3
    t = np.arange(N) / sample_rate
    x = x * np.exp(2j * np.pi * f_o * t) # down shift
    # plot_waterfall(x, sample_rate, 0)

    x = si.lfilter(si.firwin(numtaps=101, cutoff=7.5e3, fs=sample_rate), [1], x)
    # plot_waterfall(x, sample_rate, 0)

    # Resample to 19kHz
    x = si.resample_poly(x, 19, 250)
    new_sample_rate = 19e3
    # plot_waterfall(x, sample_rate, 0)
    return x, new_sample_rate

```

Рис. 3.5: Код зміщення RDS смуги до нульової частоти

Отримання цифрового сигналу з аналогового

Як було сказано раніше, сигнал кодується за допомогою алгоритму BPSK, що є частковим випадком фазової модуляції. З метою часової синхронізації використовується алгоритм Мюллера-Маллера. Для корекції фази використовується алгоритм Костки. На виході отримано два сузір'я символів, кожен елемент з яких позначає один двійковий символ.

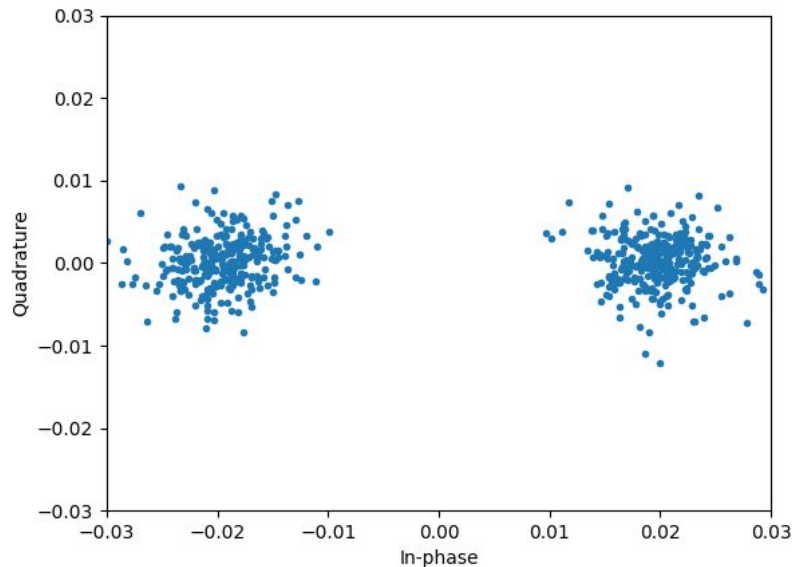


Рис. 3.6: Отримано два чітких сузір'я. Отже можна продовжити подальшу обробку

Якщо ж отримані сузір'я пересікаються між собою, то подальша обробка сигналу неможлива, потрібно вибрати інше значення для параметру mi з алгоритму Мюллера-Маллера.

Синхронізація на рівні блоків

Модифікована версія алгоритму CRC який використовується у протоколі RDS реалізована у функції `calc_syndrome(...)`. Спочатку необхідно знайти межі будь-якого блоку. Для цього біти по-одному зчитуються в регістр, далі рахується хеш-сума і порівнюється з відомими значеннями сигнатури блоку. Коли встановлено синхронізацію на рівні блоків, необхідно провести ітерацію до того моменту, поки не знайдеться блок А, що є першим в кожній групі. Далі, корисне навантаження з кожного блоку заноситься в вихідний масив. Якщо ж при цьому ви-

ника велика кількість блоків, хеш-сума яких не збігається, необхідно заново провести процедуру синхронізації

```

blocks_counter += 1
if blocks_counter == 50:
    if wrong_blocks_counter > 25:
        # This many wrong blocks must mean we lost sync
        print("Lost Sync (Got ", wrong_blocks_counter, " bad blocks on ", blocks_counter, " total)")
        synced = False
        presync = False
    else:
        pass
blocks_counter = 0
wrong_blocks_counter = 0

```

Рис. 3.7: Велика кількість пошкоджених блоків скидає стан програми до моменту синхронізації

Парсинг радіо-тексту

В стандарті прописано декілька типів інформації що може бути передана. Наприклад, інформація про дорожні затори, погоду, альтернативні частоти або ж довільний текст. Оскільки в даних, отриманих з публічних джерел, я не знайшов семплів, що передають якусь іншу інформацію окрім тексту. Тому, мій програмний засіб на даний момент підтримує лише тип радіотексту.

Структура групи даного типу представлена двома варіантами:

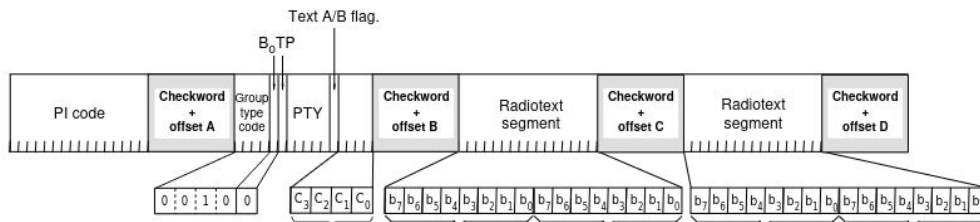


Рис. 3.8: Підтип А

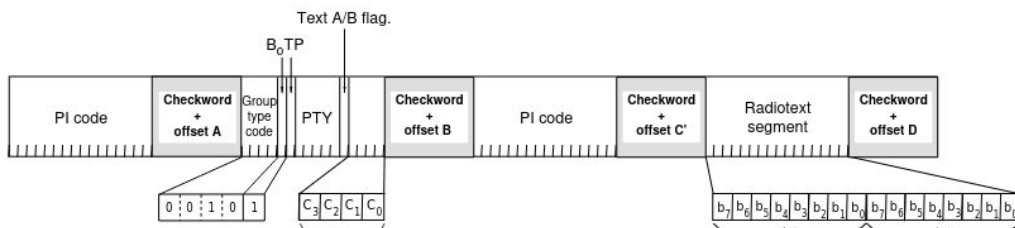


Рис. 3.9: Підтип В

Відповідно до документації, дані поля мають наступний зміст:

- **PI code** - Коди для ідентифікації програми. Перші чотири біта визначають країну (Україна має код 0x6), наступні 4 - тип програми за площею передачі (інтернаціональні, національні або регіональні) і останні 8 бітів - тип радіостанції, що визначаються кожною країною окремо.
- **Group Type code** - Тип групи. Для радіо-тексту даний параметр має значення 0x2
- **B₀** - Визначає підтип групи. Якщо **B₀ == 0**, то дана група має підтип А, інакше - В
- **PTY** - Тип програми що відтворюється на аудіо-сигналі. Може позначати новини, спорт, культуру, легку музику, джаз, тощо.
- **Text A/V flag** - Визначає спеціальний А/В символ, зміна якого призводить до стирання тексту з екрану
- **Text segment address code** - Визначає адресу тексту, що передається. Для В підтипу 2 байти записуються послідовно за адресою $address * 2$. Для А підтипу передаються 4 байти тексту і записуються вони починаючи з адреси $address * 4$.

Таким чином, розмір буферу в який записується даний текст має 64 байти для підтипу А і 32 байти для підтипу В.

Код для парсингу радіо-тексту реалізовано в функції `parse_rds_radiotext(...)`. Варто зазначити, що дана радіостанція для стирання тексту з екрану радіо-приймача використовує не А/В символ, а ASCII символ повернення каретки “\r”. Результат виконання програмного комплексу має наступний вигляд:

```
PTY: Top 40
Program: 29
Country Code: 5
Coverage Area: Regional 4

Received RadioText:
      ing.
      ing. Upb
      ing. Upbeat.
      ing. Upbeat. Rea
      ing. Upbeat. Real. \r
WayFM  ing. Upbeat. Real. \r
WayFM  ing. Upbeat. Real. \r
WayFM Up ing. Upbeat. Real. \r
WayFM Uplifting. Upbeat. Real. \r
WayFM Uplifting. Upbeat. Real. \r
```

Рис. 3.10: Результат виконання програми. Синім позначено метадані декодовані з сигналу. Зеленим - радіо-текст, що передавався в поточній групі

Повний текст, що передається протоколом RDS є нічим іншим як гаслом компанії “WayFM Uplifting. Upbeat. Real”

Розділ 4

Висновок

В випускній кваліфікаційній роботі було:

- Розглянуто повний шлях кодування-передачі-прийому-декодування електромагнітних сигналів.
- Створенно шаблонні коди для демонстрації різних аспектів цифрової обробки сигналів, такі як фільтрація, застосування віконної функції, демодуляція.
- Розглянуто мету їх застосування в реальному світі і вплив на вхідний сигнал.
- Описано теорію побудови цифрових фільтрів і використання зперетворення.

В ході виконання практичної частини даної роботи було написано програмну реалізацію FM-радіо приймача. Дана реалізація дозволяє не лише отримувати, декодувати і відтворювати аудіо сигнал, а й працювати з метаданими. Наприклад, було повністю декодовано текст, що передавався, використовуючи протокол RDS.

Підхід, заснований на програмній реалізації замість апаратної, має більш широкий спектр можливостей. Моя реалізація містить дві ключові особливості: передача довільної інформації з використанням двійкової системи і перевірка цілісності пакетів за допомогою хеш-суми. Перша дозволяє передавати будь-яку числову інформацію, з можливістю її шифрування сучасними алгоритмами. Друга - забезпечує відкидання всіх пакетів даних, які з довільної причини прийшли пошкодженими. Дані критерії є надважливими для громадської, промислової або ж військової галузей.

Перелік використаних джерел

- [1] НАЦІОНАЛЬНА ТАБЛИЦЯ розподілу смуг радіочастот України - Режим доступу: <https://www.kmu.gov.ua/npas/25976178>
- [2] H. NYQUIST. Certain Topics in Telegraph Transmission Theory / Harry Nyquist // Transactions of the A.I.E.E. - 1928 - Сторінки - Режим доступу: https://web.archive.org/web/20130926031230/http://www.ieee.org/publications_standards/publications/proceedings/nyquist.pdf
- [3] Claude E. Shannon. Communication in the Presence of Noise - 1924 - Режим доступу: <https://web.archive.org/web/20100208112344/http://www.stanford.edu/class/ee104/shannonpaper.pdf>
- [4] Cooley, James W.; Tukey, John W. "An algorithm for the machine calculation of complex Fourier series" - 1965 - Режим доступу: <https://www.ams.org/journals/mcom/1965-19-090/S0025-5718-1965-0178586-1/S0025-5718-1965-0178586-1.pdf>
- [5] datasheet TX-2B - Режим доступу: <https://www.digchip.com/datasheets/parts/datasheet/433/TX-2B-pdf.php>
- [6] AM1139S V1.3 - AM1139S RC car SOP16 All in one controller for 4-CH RC car 2.7V 6.8V 2-channel H-Bridge 3-LEDs control - Режим доступу: https://www.datasheetarchive.com/whats_new/692fc4a213a1a674690ae952a3a2bf06.html
- [7] Anastasia Volkova: Towards reliable implementation of digital filters - Режим доступу: <https://theses.hal.science/tel-01916214/document>

- [8] Johan Boissard: Applications and Uses of Digital Filters in Finance - Режим доступа: https://ethz.ch/content/dam/ethz/special-interest/mtec/chair-of-entrepreneurial-risks-dam/documents/dissertation/master%20thesis/MAS_Johan_Boissard_Dec12.pdf
- [9] S. Butterworth: On the Theory of Filter Amplifiers - Режим доступа: https://www.changpuak.ch/electronics/downloads/On_the_Theory_of_Filter_Amplifiers.pdf
- [10] PyCharm Guide - <https://www.jetbrains.com/pycharm/guide/>
- [11] European Committee for Electrotechnical Standardization: Specification of the radio data system (RDS) for VHF/FM sound broadcasting in the frequency range from 87,5 to 108,0 MHz - Режим доступа: http://www.interactive-radio-system.com/docs/EN50067_RDS_Standard.pdf
- [12] READBEST RDS Encoder - Режим доступа: <https://www.pira.cz/rds/readbest.pdf>

Додаток А

Вихідний код програми, що використовувалась при написанні теоретичної частини

Лістинг А.1: Теоретична частина

```
1 # import numpy as np
2 # import matplotlib.pyplot as plt
3 # import scipy.fftpack as fft
4 #
5 # n = 64
6 # t = np.linspace(0, 1, n, endpoint=True)
7 # ds = 3*np.sin(2*np.pi*t)
8 #
9 # tt = np.linspace(0, 1, 32)
10 #
11 # plt.plot(t, ds, "-", linewidth=2)
12 # plt.stem(tt, 3*np.sin(2*np.pi*tt), "o")
13 #
14 # plt.show()
15
16 from scipy import signal
17 import matplotlib.pyplot as plt
18 import numpy as np
19
20 # Для параграфу по цифровому перетворенню Фурє '
21 if 1:
22     plt.style.use('seaborn-poster')
23
24
25     def FFT(x):
26         N = len(x)
27
```

```

28     if N == 1:
29         return x
30     else:
31         X_even = FFT(x[::2])
32         X_odd = FFT(x[1::2])
33         factor = \
34             np.exp(-2j * np.pi * np.arange(N) / N)
35
36         X = np.concatenate( \
37             [X_even + factor[:int(N / 2)] * X_odd,
38              X_even + factor[int(N / 2):] * X_odd])
39         return X
40
41
42 def DFT(x):
43     N = len(x)
44     n = np.arange(N)
45     k = n.reshape((N, 1))
46     # Матриця n на k
47     e = np.exp(-2j * np.pi * k * n / N)
48     # Добуток матриці на стовпчик
49     X = np.dot(e, x)
50
51     return X
52
53     # Частота квантування
54     sr = 16
55     # Інтервал квантування
56     ts = 1.0 / sr
57     t = np.arange(0, 2, ts)
58     # Сигнал - це сума двох синусоїдних з різними амплітудами і частотами
59     freq = 1
60     x = 3 * np.sin(2 * np.pi * freq * t)
61     freq = 4
62     x += np.sin(2 * np.pi * freq * t)
63
64     # Add noise
65     # x += np.random.rand(len(x))
66     # freq = 7
67     # x += 0.5 * np.sin(2 * np.pi * freq * t)
68
69     plt.figure(figsize=(8, 6))
70     plt.plot(t, x, 'r')
71     # plt.stem(t, x, "o")
72     plt.ylabel("Амплітуда")
73     plt.xlabel("Час")
74     plt.show()
75
76
77     X = DFT(x)
78
79     # Обрахунок значень на осі частот
80     N = len(X)
81     n = np.arange(N)
82     T = N/sr
83     freq_axis = n/T - sr/2 + 0.5

```

```

84
85     plt.subplot(121)
86     reform_X = np.concatenate((abs(X/N)[0:N//2][::-1], abs(X/N)[N
//2:][::-1]), axis=None)
87     plt.plot(freq_axis, abs(reform_X))
88     plt.xlabel('Частотний розподіл')
89     plt.ylabel("Коефіцієнт Фурє")
90
91
92     n_oneside = N//2
93     f_oneside = freq_axis[:n_oneside] + sr/2 - 0.5
94     X_oneside =X[:n_oneside]/n_oneside
95
96     plt.subplot(122)
97     plt.stem(f_oneside, abs(X_oneside), 'b', \
98             markerfmt="□", basefmt="-b")
99     plt.xlabel('Частота')
100    plt.ylabel('Амплітуда')
101    plt.tight_layout()
102    plt.show()
103
104    phase_spectrum = [np.arctan(k.imag / k.real) for k in X]
105    print(phase_spectrum)
106
107    # result = np.zeros(N)
108    # for k in range(n_oneside):
109    #     result += abs(X_oneside[k]) * np.sin(2 * np.pi * freq[k] * t
)
110    x_new = np.zeros(len(t))
111    for n in range(len(t)):
112        tmp_result = 0
113        for k in range(len(t)):
114            tmp_result += X[k] * np.exp(2j * np.pi * k * n / N)
115
116        x_new[n] = tmp_result/N
117
118    plt.subplot(121)
119    plt.plot(t, x, 'r')
120    plt.subplot(122)
121    plt.plot(t, x_new, "-b")
122    plt.xlabel("Time")
123    plt.ylabel("Ampl")
124    plt.show()
125
126
127 # Амплітудна і частотна модуляція
128 if 0:
129     n = 10244
130     t = np.linspace(0, 1, n, endpoint=True)
131     period = 2*np.pi*t
132     orig_freq = 3
133     modul_freq = 15
134     original_signal = np.cos(period*orig_freq)
135
136
137     amplitude_signal = 1 * (1+0.25*original_signal) * np.cos(period*

```

```

modul_freq)
138
139     frequency_signal = 1 * np.cos(period*modul_freq + 12/orig_freq *
np.sin(period*orig_freq))
140
141     # tt = np.linspace(0, 1, 32)
142
143     plt.plot(t, original_signal+3, "b-", linewidth=2)
144     plt.plot(t, amplitude_signal, "r-")
145     plt.plot(t, frequency_signal-3, "g-")
146     # plt.plot(t, original_signal)
147     # plt.xlim([0, n-1])
148     # plt.stem(tt, np.sin(2 * np.pi * tt), "o")
149     plt.show()
150
151
152
153 # Процес квантизації
154 if 0:
155     n = 100
156     t = np.linspace(0, 1, n, endpoint=True)
157     t2 = np.linspace(0, 1, n//2, endpoint=True)
158     period = 2 * np.pi * t
159     orig_freq = 3
160     modul_freq = 15
161     original_signal = np.cos(period * orig_freq)
162     quantized = np.cos(2 * np.pi * t2 * orig_freq)
163
164     plt.plot(t, original_signal, "b-")
165     plt.stem(t2, quantized, "k")
166     plt.bar(t2, quantized, align="edge", alpha=0.5, width=0.02, label=
'Bar_Plot', edgecolor="k", color="w")
167
168     plt.ylabel("Amplitude")
169     plt.xlabel("Time")
170     plt.show()
171
172
173 # АЧХ та зсув фази
174 if 0:
175     n = 1000
176     t = np.linspace(0, 2*np.pi, n, endpoint=True)
177     freq_resp = np.sqrt((0.5+0.5*np.cos(t))**2 + (0.5*np.sin(t))**2)
178     phase_resp = np.arctan((-0.5*np.sin(t)) / (0.5 + 0.5*np.cos(t)))
179
180     plt.subplot(121)
181     plt.plot(t, freq_resp, "b-")
182     plt.ylabel("Нормована_АЧХ")
183     plt.xlabel("Частота_радіани()")
184     plt.subplot(122)
185     plt.plot(t, phase_resp, "r-")
186     plt.ylabel("Зсув_фази_радіани()")
187     plt.xlabel("Частота_радіани()")
188     plt.show()
189
190     from scipy import signal

```

```

191
192 b = [0.5, 0.5] #signal.firwin(80, 0.5, window=('kaiser', 8))
193 b = [0.25, 0.25, 0.25, 0.25]
194 w, h = signal.freqz(b) #, fs=400)
195
196 # fig = plt.figure()
197 plt.title('Частотна_характеристика_Фільтр(рухомого_середнього)')
198 # ax1 = fig.add_subplot(111)
199
200 plt.plot(w, 20 * np.log10(abs(h)), 'b')
201 plt.ylabel('Амплітуда [dB]')
202 plt.xlabel('Відносна_частота_радіани []')
203
204 # ax2 = ax1.twinx()
205 angles = np.unwrap(np.angle(h))
206 # plt.plot(w, angles, 'g')
207 # plt.ylabel('Angle (radians)', color='g')
208 plt.grid()
209 # plt.axis('tight')
210 plt.show()
211
212
213
214 # Віконні функції
215 if 0:
216     n = 50
217     freq = 1
218     t = np.linspace(0, 2 * np.pi, n, endpoint=True)
219     orig_x = np.cos(2*np.pi*freq*t)
220     orig_x2 = 0.1*np.cos(2*np.pi*2*t)
221     x = orig_x + orig_x2
222     plt.subplot(121)
223     plt.plot(t, x)
224     plt.ylabel("Амплітуда")
225     plt.xlabel("Час")
226     plt.title("Часовий_простір")
227
228     f_x = np.fft.fft(x, 1028)
229     f_y = np.fft.fftfreq(len(f_x), 1/(n/(max(t)-min(t))))
230
231     # plt.plot(f_y, f_x.real, f_y, f_x.imag)
232     plt.subplot(122)
233     plt.title("Частотний_простір")
234     plt.ylabel("Амплітуда")
235     plt.xlabel("Частота")
236     plt.plot(f_y, abs(f_x))
237     plt.show()
238
239     window = signal.windows.blackman(len(x))
240
241     x = x*window
242     plt.subplot(121)
243     plt.plot(t, x)
244     plt.ylabel("Амплітуда")
245     plt.xlabel("Час")
246     plt.title("Часовий_простір")

```

```

247
248     f_x = np.fft.fft(x, 1028)
249     f_y = np.fft.fftfreq(len(f_x), 1 / (n / (max(t) - min(t))))
250
251     # plt.plot(f_y, f_x.real, f_y, f_x.imag)
252     plt.subplot(122)
253     plt.title("Частотний простір")
254     plt.ylabel("Амплітуда")
255     plt.xlabel("Частота")
256     plt.plot(f_y, abs(f_x))
257     plt.show()
258
259
260
261
262
263 # Фільтр Баттерворта
264 if 0:
265     b, a = signal.butter(3, 0.5, 'low')
266
267     w, h = signal.freqz(b, a)
268
269     plt.plot(w, 20 * np.log10(abs(h)))
270
271     plt.title('Частотна характеристика Фільтр (Баттерворта)')
272     plt.xlabel('Відносна частота радіани [ ]')
273     plt.ylabel('Амплітуда [dB]')
274     plt.grid(which='both', axis='both')
275     plt.show()

```

Додаток Б

Вихідний код програми, що використовувалась при написанні практичної частини частини

Лістинг Б.1: Головний файл для парсингу FM сигналу (main.py)

```
1 import numpy as np
2 from helpers import *
3
4 #####
5 # Init Data #
6 #####
7 samples = np.fromfile('SDRuno_20200907_184033Z_88110kHz.dat', dtype=np
    .complex64)
8
9 # Limit sample count for very-large files
10 samples = samples[:4000000]
11 sample_rate = 250e3
12 center_freq = 99.5e6
13
14
15
16 #####
17 # Spectre Handling #
18 #####
19 # Quadrature demod
20 # https://wiki.gnuradio.org/index.php/Quadrature\_Demod#
    Mathematical\_Description
21 x = 0.5 * np.angle(samples[0:-1] * np.conj(samples[1:]))
22
23 # Parse mono audio
24 sound_output(x.copy(), sample_rate)
25
```

```

26 # Get rds baseband
27 x, sample_rate = get_rds_from_fm(x, sample_rate)
28
29
30 #####
31 # BPSK Demodulate #
32 #####
33 x = sync(x)
34 bits = (np.real(x) > 0).astype(int) # 1's and 0's
35 # Differential decoding
36 bits = (bits[1:] - bits[0:-1]) % 2
37 bits = bits.astype(np.uint8)
38
39
40 #####
41 # RDS Decoder #
42 #####
43 # http://www.interactive-radio-system.com/docs/EN50067\_RDS\_Standard.pdf
44 bytes_out = parse_rds_bitstream(bits)
45
46
47
48 #####
49 # RDS Parser #
50 #####
51 parse_rds_radiotext(bytes_out)

```

ЛІСТИНГ Б.2: Допоміжні функції для парсингу FM сигналу (helpers.py)

```

1 # Basis
2 import numpy as np
3 import scipy.signal as si
4 # Plots
5 import matplotlib.pyplot as plt
6 from matplotlib.animation import FuncAnimation
7 # For the audio
8 from scipy.io import wavfile
9 import os
10
11
12 def to_logarithmic(elem):
13     return 10 * np.log10(elem ** 2)
14
15
16 def plot_dft(x, srate):
17     PSD = to_logarithmic(np.abs(np.fft.fftshift(np.fft.fft(x))))
18     PSD = PSD[::100]
19     PSD = PSD[len(PSD) // 2:]
20     PSD = PSD - np.max(PSD)
21     f = np.linspace(0, srate / 2, len(PSD)) / 1e3
22     plt.plot(f, PSD)
23     plt.axis([0, 125, -55, 1])
24     plt.xlabel("Частота [kHz]")
25     plt.ylabel("Амплітуда [dB]")

```

```

26     plt.show()
27
28
29 def plot_waterfall(samples, sample_rate, freq_center, fft_size=1024,
30                    chunks=500):
31     num_rows = len(samples) // fft_size #len(x) // fft_size # // is an
32     integer division which rounds down
33     spectrogram = np.zeros((chunks, fft_size))
34     div = 1e3
35     xlimits = [(-sample_rate/2+freq_center)/div, (sample_rate/2+
36               freq_center)/div]
37
38     for i in range(num_rows):
39         new_slice = samples[i*fft_size: (i+1)*fft_size] #signal.
40         read_samples(i*fft_size, fft_size)
41         tmp_idx = i % chunks
42         spectrogram[tmp_idx,:] = to_logarithmic(np.abs(np.fft.fftshift
43           (np.fft.fft(new_slice))))
44         if (i+1) % chunks == 0:
45             plt.imshow(spectrogram, aspect='auto', extent=[xlimits[0],
46               xlimits[1], 0, len(samples)/sample_rate])
47             plt.xlabel("Ψacrorα [kHz]")
48             plt.ylabel("Ψac_c [ ]")
49             plt.show()
50
51         spectrogram = np.zeros((chunks, fft_size))
52
53     plt.imshow(spectrogram, aspect='auto', extent=[xlimits[0], xlimits
54               [1], 0, len(samples)/sample_rate])
55     plt.xlabel("Ψacrorα [kHz]")
56     plt.ylabel("Ψac_c [ ]")
57     plt.show()
58
59
60 def sound_output(x, srate):
61     # plot_waterfall(x, sample_rate=srate, freq_center=0)
62     # Filter-out everything except mono audio
63     x = si.sosfilt(si.butter(2, 20e3, fs=srate, output="sos"), x)
64
65     # plot_waterfall(x, sample_rate=srate, freq_center=0)
66
67     # downsample by 6 to get mono audio
68     x = si.decimate(x, 6)
69     sample_rate_audio = srate//6
70
71     # normalize volume so its between -1 and +1
72     x /= np.max(np.abs(x))
73
74     # convert from float to int16s
75     x *= 32767
76     x = x.astype(np.int16)
77
78     wavfile.write('fm.wav', int(sample_rate_audio), x)
79     # os.system("aplay fm.wav")

```

```

75 def get_rds_from_fm(x, sample_rate):
76     # Freq shift to the center of the rds
77     N = len(x)
78     f_o = -57e3
79     t = np.arange(N) / sample_rate
80     x = x * np.exp(2j * np.pi * f_o * t) # down shift
81     # plot_waterfall(x, sample_rate, 0)
82
83     x = si.lfilter(si.firwin(numtaps=101, cutoff=7.5e3, fs=sample_rate
84     ), [1], x)
85     # plot_waterfall(x, sample_rate, 0)
86
87     # Resample to 19kHz
88     x = si.resample_poly(x, 19, 250)
89     new_sample_rate = 19e3
90     # plot_waterfall(x, sample_rate, 0)
91     return x, new_sample_rate
92
93 def plot_in_time(x):
94     subset = x[0:2000]
95     fig, ax = plt.subplots()
96     fig.set_tight_layout(True)
97     line, = ax.plot([0, 0, 0, 0, 0], [0, 0, 0, 0, 0], '.')
98     ax.axis([-0.02, 0.02, -0.02, 0.02])
99     subset = np.concatenate(
100         (np.zeros(100), subset)) # Add zeros at the beginning so that
101         when gif loops it has a transition period
102
103     def update(i):
104         i = int(i)
105         line.set_xdata([np.real(subset[i * 10:(i + 2) * 10])])
106         line.set_ydata([np.imag(subset[i * 10:(i + 2) * 10])])
107         return line, ax
108
109     anim = FuncAnimation(fig, update, frames=np.arange(0, len(subset)
110     / 10 - 2), interval=20)
111     anim.save('/tmp/constellation-animated.gif', dpi=80, writer='
112     imagemagick')
113
114 def sync(x):
115     # Mueller and Muller clock synchronization
116     # https://dsp.stackexchange.com/questions/75202/clock-recovery-
117     using-mueller-and-muller-adds-noise-affecting-evm-or-snr-two-cas
118     samples = x # for the sake of matching the sync chapter
119     samples_interpolated = si.resample_poly(samples, 32, 1) # we'll
120     use 32 as the interpolation factor, arbitrarily chosen
121     sps = 16
122     mu = 12.9 # initial estimate of phase of sample
123     out = np.zeros(len(samples) + 10, dtype=np.complex64)
124     out_rail = np.zeros(len(samples) + 10,
125         dtype=np.complex64) # stores values, each
126     iteration we need the previous 2 values plus current value
127     i_in = 0 # input samples index

```

```

124     i_out = 2 # output index (let first two outputs be 0)
125     while i_out < len(samples) and i_in + 32 < len(samples):
126         out[i_out] = samples_interpolated[i_in * 32 + int(mu * 32)] #
127         grab what we think is the "best" sample
128         out_rail[i_out] = int(np.real(out[i_out]) > 0) + 1j * int(np.
129         imag(out[i_out]) > 0)
130         x = (out_rail[i_out] - out_rail[i_out - 2]) * np.conj(out[
131         i_out - 1])
132         y = (out[i_out] - out[i_out - 2]) * np.conj(out_rail[i_out -
133         1])
134         mm_val = np.real(y - x)
135         mu += sps + 0.01 * mm_val
136         i_in += int(np.floor(mu)) # round down to nearest int since
137         we are using it as an index
138         mu = mu - np.floor(mu) # remove the integer part of mu
139         i_out += 1 # increment output index
140         x = out[2:i_out] # remove the first two, and anything after i_out
141         (that was never filled out)
142
143     # Animate constellation
144     # plot_in_time(x)
145
146     # Fine freq sync
147     samples = x
148     N = len(samples)
149     phase = 0
150     freq = 0
151     # These next two params is what to adjust, to make the feedback
152     loop faster or slower (which impacts stability)
153     alpha = 100.0
154     beta = 0.5
155     out = np.zeros(N, dtype=np.complex64)
156     # freq_log = []
157     for i in range(N):
158         out[i] = samples[i] * np.exp(-1j * phase) # adjust the input
159         sample by the inverse of the estimated phase offset
160         error = np.real(out[i]) * np.imag(out[i]) # This is the error
161         formula for 2nd order Costas Loop (e.g. for BPSK)
162
163         # Advance the loop (recalc phase and freq offset)
164         freq += (beta * error)
165         # freq_log.append(freq * sample_rate / (2*np.pi)) # convert
166         from angular velocity to Hz for logging
167         phase += freq + (alpha * error)
168
169         # Optional: Adjust phase so its always between 0 and 2pi,
170         recall that phase wraps around every 2pi
171         while phase >= 2 * np.pi:
172             phase -= 2 * np.pi
173         while phase < 0:
174             phase += 2 * np.pi
175
176     # Draw constellation
177     plt.plot(np.real(out[1000:1600]), np.imag(out[1000:1600]), '.')
178     plt.xlim([-0.030, +0.030])
179     plt.ylim([-0.030, +0.030])

```

```

169     plt.ylabel("Quadrature")
170     plt.xlabel("In-phase")
171     plt.show()
172     return out
173
174
175 # Constants
176 # Page 64
177 syndrome = [383, 14, 303, 663, 748]
178 offset_pos = [0, 1, 2, 3, 2]
179 # Page 59
180 #           A,      B,      C,      D,      C'
181 offset_word = [252, 408, 360, 436, 848]
182
183 # Annex F of RBDS Standard Table F.1 (North America) and Table F.2 (
      Europe)
184 #           Europe                               North America
185 pty_table = [{"Undefined", "Undefined"},
186              ["News", "News"],
187              ["Current_Affairs", "Information"],
188              ["Information", "Sports"],
189              ["Sport", "Talk"],
190              ["Education", "Rock"],
191              ["Drama", "Classic_Rock"],
192              ["Culture", "Adult_Hits"],
193              ["Science", "Soft_Rock"],
194              ["Varied", "Top_40"],
195              ["Pop_Music", "Country"],
196              ["Rock_Music", "Oldies"],
197              ["Easy_Listening", "Soft"],
198              ["Light_Classical", "Nostalgia"],
199              ["Serious_Classical", "Jazz"],
200              ["Other_Music", "Classical"],
201              ["Weather", "Rhythm_&_Blues"],
202              ["Finance", "Soft_Rhythm_&_Blues"],
203              ["'Childrens_Programmes", "Language"],
204              ["Social_Affairs", "Religious_Music"],
205              ["Religion", "Religious_Talk"],
206              ["Phone-In", "Personality"],
207              ["Travel", "Public"],
208              ["Leisure", "College"],
209              ["Jazz_Music", "Spanish_Talk"],
210              ["Country_Music", "Spanish_Music"],
211              ["National_Music", "Hip_Hop"],
212              ["Oldies_Music", "Unassigned"],
213              ["Folk_Music", "Unassigned"],
214              ["Documentary", "Weather"],
215              ["Alarm_Test", "Emergency_Test"],
216              ["Alarm", "Emergency"]]
217 pty_locale = 1 # set to 0 for europe which will use first column
      instead
218
219 # page 72, Annex D, table D.2 in the standard
220 coverage_area_codes = ["Local",
221                        "International",
222                        "National",

```

```

223         "Supra-regional",
224         "Regional_1",
225         "Regional_2",
226         "Regional_3",
227         "Regional_4",
228         "Regional_5",
229         "Regional_6",
230         "Regional_7",
231         "Regional_8",
232         "Regional_9",
233         "Regional_10",
234         "Regional_11",
235         "Regional_12"]
236
237
238 # Annex B, page 64
239 def calc_syndrome(x, mlen):
240     reg = 0
241     plen = 10
242     for ii in range(mlen, 0, -1):
243         reg = (reg << 1) | ((x >> (ii - 1)) & 0x01)
244         if (reg & (1 << plen)):
245             reg = reg ^ 0x5B9
246     for ii in range(plen, 0, -1):
247         reg = reg << 1
248         if (reg & (1 << plen)):
249             reg = reg ^ 0x5B9
250     return reg & ((1 << plen) - 1) # select the bottom plen bits of
    reg
251
252
253 # 1187.5 bps / 104 bits = 11.4 groups/sec, or 45.7 blocks/sec */
254 def parse_rds_bitstream(bits):
255     # Initialize all the working vars we'll need during the loop
256     synced = False
257     presync = False
258
259     wrong_blocks_counter = 0
260     blocks_counter = 0
261     group_good_blocks_counter = 0
262
263     reg = np.uint32(0)
264     lastseen_offset_counter = 0
265     lastseen_offset = 0
266
267     # the synchronization process is described in Annex C, page 66 of
    the standard */
268     bytes_out = []
269     for i in range(len(bits)):
270         # in C++ reg doesn't get init so it will be random at first,
    for ours its 0s
271         # It was also an unsigned long but never seemed to get
    anywhere near the max value
272         # bits are either 0 or 1
273         reg = np.bitwise_or(np.left_shift(reg, 1),
274                             bits[i]) # reg contains the last 26 rds

```

```

bits. these are both bitwise ops
275     if not synced:
276         reg_syndrome = calc_syndrome(reg, 26)
277         for j in range(5):
278             if reg_syndrome == syndrome[j]:
279                 if not presync:
280                     lastseen_offset = j
281                     lastseen_offset_counter = i
282                     presync = True
283             else:
284                 if offset_pos[lastseen_offset] >= offset_pos[j
]:
285                     block_distance = offset_pos[j] + 4 -
offset_pos[lastseen_offset]
286                 else:
287                     block_distance = offset_pos[j] -
offset_pos[lastseen_offset]
288                 if (block_distance * 26) != (i -
lastseen_offset_counter):
289                     presync = False
290                 else:
291                     print('Sync_State_Detected')
292                     wrong_blocks_counter = 0
293                     blocks_counter = 0
294                     block_bit_counter = 0
295                     block_number = (j + 1) % 4
296                     group_assembly_started = False
297                     synced = True
298                 break # syndrome found, no more cycles
299
300     else: # SYNCED
301         # wait until 26 bits enter the buffer */
302         if block_bit_counter < 25:
303             block_bit_counter += 1
304         else:
305             good_block = False
306             dataword = (reg >> 10) & 0xffff
307             block_calculated_crc = calc_syndrome(dataword, 16)
308             checkword = reg & 0x3ff
309             if block_number == 2: # manage special case of C or C
' offset word
310                 block_received_crc = checkword ^ offset_word[
block_number]
311                 if (block_received_crc == block_calculated_crc):
312                     good_block = True
313                 else:
314                     block_received_crc = checkword ^ offset_word
[4]
315                 if (block_received_crc == block_calculated_crc
):
316                     good_block = True
317                 else:
318                     wrong_blocks_counter += 1
319                     good_block = False
320             else:
321                 block_received_crc = checkword ^ offset_word[

```

```

block_number] # bitwise xor
322         if block_received_crc == block_calculated_crc:
323             good_block = True
324         else:
325             wrong_blocks_counter += 1
326             good_block = False
327
328     # Done checking CRC
329     if block_number == 0 and good_block:
330         group_assembly_started = True
331         group_good_blocks_counter = 1
332         bts = bytearray(8) # 8 bytes filled with 0s
333     if group_assembly_started:
334         if not good_block:
335             group_assembly_started = False
336         else:
337             # raw data bytes, as received from RDS. 8 info
            bytes, followed by 4 RDS offset chars: ABCD/ABcD/EEEE (in US)
            which we leave out here
338             # RDS information words
339             # block_number is either 0,1,2,3 so this is
            how we fill out the 8 bytes
340             bts[block_number * 2] = (dataword >> 8) & 255
341             bts[block_number * 2 + 1] = dataword & 255
342             group_good_blocks_counter += 1
343             # print('group_good_blocks_counter:',
            group_good_blocks_counter)
344             if group_good_blocks_counter == 5:
345                 # print(bts)
346                 bytes_out.append(bts) # list of len-8 lists
            of bytes
347             block_bit_counter = 0
348             block_number = (block_number + 1) % 4
349             blocks_counter += 1
350             if blocks_counter == 50:
351                 if wrong_blocks_counter > 25:
352                     # This many wrong blocks must mean we lost
            sync
353                     print("Lost Sync (Got ", wrong_blocks_counter,
            " bad blocks on ", blocks_counter, " total)")
354                     synced = False
355                     presync = False
356                 else:
357                     pass
358                 blocks_counter = 0
359                 wrong_blocks_counter = 0
360     return bytes_out
361
362
363 def parse_rds_radiotext(bytes_inp):
364     radiotext_AB_flag = 0
365     radiotext = ['_'] * 65
366     first_time = True
367     for bytes in bytes_inp:
368         block_0 = bytes[1] | (bytes[0] << 8)
369         block_1 = bytes[3] | (bytes[2] << 8)

```

```

370     block_2 = bytes[5] | (bytes[4] << 8)
371     block_3 = bytes[7] | (bytes[6] << 8)
372
373     group_type = (block_1 >> 12) & 0xf
374     AB = (block_1 >> 11) & 0x1 # b if 1, a if 0
375
376     program_identification = block_0 # "PI"
377
378     program_type = (block_1 >> 5) & 0x1f # "PTY"
379     pty = pty_table[program_type][pty_locale]
380
381     pi_area_coverage = (program_identification >> 8) & 0xf
382     coverage_area = coverage_area_codes[pi_area_coverage]
383
384     pi_program_reference_number = program_identification & 0xff #
just an int
385
386     if first_time:
387         print("\nPTY:", pty)
388         print("program:", pi_program_reference_number)
389         print("coverage_area:", coverage_area)
390         print("\nReceived␣RadioText:")
391         first_time = False
392
393     # Only support for the radiotext type
394     if group_type == 2:
395         # when the A/B flag is toggled, flush your current
radiotext
396         if radiotext_AB_flag != ((block_1 >> 4) & 0x01):
397             radiotext = ['␣'] * 65
398             radiotext_AB_flag = (block_1 >> 4) & 0x01
399             text_segment_address_code = block_1 & 0x0f
400             if AB:
401                 radiotext[text_segment_address_code * 2] = chr((
block_3 >> 8) & 0xff)
402                 radiotext[text_segment_address_code * 2 + 1] = chr(
block_3 & 0xff)
403             else:
404                 radiotext[text_segment_address_code * 4] = chr((
block_2 >> 8) & 0xff)
405                 radiotext[text_segment_address_code * 4 + 1] = chr(
block_2 & 0xff)
406                 radiotext[text_segment_address_code * 4 + 2] = chr((
block_3 >> 8) & 0xff)
407                 radiotext[text_segment_address_code * 4 + 3] = chr(
block_3 & 0xff)
408             res = ''.join(radiotext)
409             if res.count("␣") != 65:
410                 res = res.replace("\x0d", "\\r")
411                 print(res)
412         else:
413             pass

```